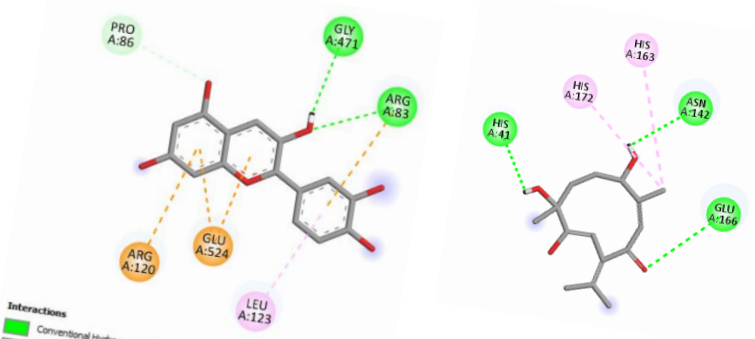


KOMPILASI TANAMAN DENGAN AKTIVITAS
BIOLOGIS: IN SILICO



PROGRAM STUDI SI FARMASI

FAKULTAS SAINS DAN TEKNOLOGI UNIVERSITAS PERADABAN 2024

Disusun Oleh:

Tim Program Studi Farmasi Makultas Sains dan Teknologi

Isi dalam kompilasi ini merupakan hasil penelitian yang dilakukan oleh tim (mahasiswa dan dosen) yakni Erni Murniningsih, Elyn Dwi Agutin, Assyifa Hanum Salsabila, Kharisma Arsyifatin Nadiyah, Ameliya Sari, M.Fardan Rizquloh, Syaiful Prayogi, Luthfi Hidayat Maulana, Pudjono, Aulia Rahman, Baedi Mulyanto, dan Ubun Fadly Serahli,

DAFTAR ISI

5 A ET	AD ISI	Halaman
	AR ISI	
	nsi Senyawa Buah Persik (<i>Prunus persica</i> (L.)) pada Aktivasi Estrogen Reseptor E –β): melalui <i>Molecular Docking</i>	
A.	Buah Persik (<i>Prunus persica</i>)	
В.	Data Aktivitas	
	nsi Senyawa Temu Griring (<i>Curcuma heyneana</i>) terhadap PROTEIN M ^{pro} SARS lui <i>Molecular Docking</i>	
A.	Temu Giring (Curcuma heyneana)	13
В.	Hasil Docking	15
C.	Hasil Docking Obat Pembanding	19
Poten	nsi Senyawa Flavonoid pada Pelepah Pisang (<i>Musa</i> sp.) pada Enzim COX-2	21
A.	Tanaman Pisang (Musa sp.)	21
В.	Hasil Docking	23
	nsi Senyawa Golongan Flavonoid dari Tanaman Temu Kunci <i>(Boesenbergia pandurata</i> gen Reseptor Alpha: Melalui Molekuler Docking	
A.	Tanaman Temu Kunci (Boesenbergia pandurata)	28
B.	Data Aktivitas	44
Dock	ing Senyawa Golongan Flavonoid Pada Daun Sirsak (<i>Annona muricata</i> L.) terha	dap
Enzin	m Cyclooxygenase-2 (COX-2) sebagai Antiinflamasi Rheumatoid Arthritis	50
A.	Sirsak (Annona muricata L)	50
B.	Hasil Docking	54
	nsi Senyawa Flavonoid Daun Sembung (<i>Blumea balsamifera</i> (L.)) terhadap Enzim oksigenase-2 (Cox-2) sebagai Antiinflamasi <i>Gout Arthritis</i>	59
A.	Daun Sembung (Blumea balsamifera L.)	
В.	Hasil Docking	63

Potensi Senyawa Buah Persik (Prunus persica (L.)) pada Aktivasi Estrogen Reseptor

Betha (ER—β): melalui *Molecular Docking*

Erni Murniningsih, Syaiful Prayogi, Luthfi Hidayat Maulana

Email: erniff.mnsh11@gmail.com

Kanker payudara merupakan salah satu jenis kanker yang paling banyak menyebabkan kematian pada wanita. Pengembangan terapi perlu dilakukan terutama yang memiliki target spesifik dan selektifitas yang tinggi terhadap kanker payudara dengan eksplorasi potensi bahan alam berkhasiat. Senyawa metabolit sekunder yang ada pada buah persik (*Prunus persica* (L.)) memiliki aktivitas sebagai antikanker dengan menghambat metastasis sel kanker payudara. Penelitian ini bertujuan untuk mengetahui senyawa dari buah persik (*Prunus persica* (L.)) yang memiliki aktivitas sebagai antikanker payudara melalui molecular docking, menganalisis bagaimana aktivitas antikanker pada senyawa dari buah persik (*Prunus persica* (L.)) terhadap reseptor ER-β. Penelitian ini merupakan penelitian kualitatif eksplroratif dengan mengidentifikasi kompleks ligan-reseptor dan efek dari penyatuan ligan yang berasal dari senyawa tanaman dengan reseptor yang merupakan protein target dari penyakit kanker payudara menggunakan metode molecular docking. Molecular docking dilakukan melalui beberapa tahap diantaranya pemodelan dan optimasi struktur senyawa, preparasi protein ERβ, validasi docking, proses docking, dan visualisasi interaksi. Hasil penelitian menunjukan bahwa senyawa dari buah persik catechi, cyanidin-3-O-rutinoside, dan quercetin-3-Orutinoside berpotensi sebagai antikanker payudara yang ditunjukan dengan nilai energi ikatan berturut-turut (-7,1), (-7,4), (7,2) dan berbagai ikatan berupa hidrofobik, electrostatic, dan hidrogen. Senyawa paling berpotensi sebagai kandidat obat baru kanker payudara melalui aktivasi ER-β adalah cyanidin-3-O-rutinoside.

A. Buah Persik (Prunus persica)



Gambar 2.2 Buah persik (*Prunus persica* (L.)) Sumber: diunduh dari Wikipedia (Wikipedia, 2022)

Persik dikenal juga dengan nama *peach* (*Prunus persica*) merupakan tanaman berbuah famili *Rosaceae*. Buah ini disebut juga sebagai buah momok di dalam bahasa Jepang. Buah persik memiliki daging berwarna kuning dengan aroma harum dan memiliki satu biji yang keras (Wahyu, 2019). Buah persik berbentuk lonjong berwarna hijau kekuningan ketika muda dan berwarna kuning kemerahan ketika tua (Rahmatika, 2019).

1. Taksonomi Tanaman Buah Persik

Dalam redaksi (Kant *et al.*, 2018) menjelaskan klasifikasi tumbuhan buah persik dengan nama ilmiah *Prunus persica* sebagai berikut:

Kingdom: Plantae

Divisi : Magnoliophyta Kelas : Magnoliopsida

Subkelas : Rosidae
Ordo : Rosales
Famili : Rosaceae
Genus : Prunus

Spesies : Prunus persica (L.)

2. Asal-Usul Tanaman

Buah persik telah tumbuh di Cina sejak abad ke-5 SM. Persik sangat populer dimasyarakat Cina seperti halnya apel di Negara barat. Pohon *peach* (*Prunus persica* (L.)) adalah spesies asli prunus ke Cina yang dikenal sebagai buah berair yang dapat dimakan disebut buah persik (Wahyu, 2019).

3. Anatomi Buah Persik (Prunus persica)

Bagian anatomi dari buah persik terdiri atas:

a. Lapisan luar (eksokarp)

Lapisan luar buah disebut juga kulit buah kulit buah pada tumbuhan ada yang keras dan ada yang lunak. Kulit buah pada buah kering umumnya keras, misalnya buah kacang tanah, namun ada juga buah yang memiliki eksokarp tipis, misalnya buah tomat.

b. Lapisan temgah (mesokarp)

Pada beberapa jenis buah, lapisan tengah ini biasa disebut daging buah.

c. Lapisan Dalam (endokarp)

Endokarp merupakan lapisan paling dalam yang mengelilingi biji, endokarp ada yang tebal dan keras.

d. Biji

Biji terdiri dari kulit biji, endosperma (putih lembaga), dan embrio (lembaga). Biji merupakan alat perkembangbiakan tumbuhan biji (Angiospermae), karena didalam biji terdapat embrio yang merupakan calon tumbuhan baru (Wahyu, 2019).

2. Kandungan Kimia dan Senyawa Fitoestrogen Buah Persik

Persik adalah buah yang sangat bergizi dan memiliki berbagai senyawa fenolik. Kandungannya yang kaya akan antioksidan, berfungsi sebagai buah dengan sumber antioksidan alami dan promotor kesehatan yang baik (Bento *et al.*, 2020). Menurut penelitian sebelumnya, senyawa golongan alkaloid, flavonoid dan polifenol memiliki aktivitas sebagai antioksidan. Antioksidan merupakan senyawa yang dapat menghentikam rekasi pripogasi radikal bebas, baik yang berasal dari produk samping metabolisme yang terjadi didalam tubuh maupun yang berasal dari lingkungan sepeti asap rokok, polusi udara, oabt-obatan tertentu, sinar ultraviolet dan radiasi (Hardiana *et al.*, 2012).

Buah persik memiliki beberapa kandungan yang bermanfaat antara lain fenol (polifenol), flavonoid, tanin, antosianin, dan alkaloid. Data yang tersedia telah mengungkapkan dari flavonoid terutama quercetin yaitu sebagai antioksidan, anti-inflamasi dan antikarsinogenik yang menghasilkan peran potensial sebagai agen kemopreventif (Weng C-J & Yen G-C, 2012). Flavonoid merupakan senyawa polifenol terbesar yang ada pada tumbuhan. Diet dengan menu flavonoid diketahui memiliki banyak manfaat yang didalamnya termasuk sebagai antikanker. Banyak mekanisme kerja flavonoid antara lain seperti inaktivasi karsinogen, antiproliferasi, inhibisi siklus sel, induksi apoptosis, dan diferensiasi, serta penghambatan angiogenesis. Beberapa penelitian menekankan aktivitas flavonoid sebagai antioksidan terutama peran flavonoid sebagai kemoprentif kanker. Selain itu, beberapa flavonoid tertentu seperti naringenin, apigenin, dan kaemferol memiliki afinitas yang tinggi terhadap reseptor ER-α dan ER-β yang telah dikaitkan dengan mekanisme inhibitor dari proliferasi sel pada jaringan payudara (Ortega *et al.*, 2016).

Buah persik juga memiliki kandungan asam fenol yang dipercaya memiliki aktivitas sebagai antikanker (Floegel A *et al.*, 2013). Salah satu kandungan fenol yang diketahui memiliki aktivitas sebagai antikanker adalah polifenol. Estrak polifenol dari genotip *Prunus persica* L. Batsch menunjukan sitotoksisitas selektif terhadap estrogen sel kanker payudara MDA-MB-435 dibandingkan dengan sel MCF-7 dalam senyawa fenol juga terdapat asam klorogenik dimana memiliki efektivitas terhadap kedua sel kanker tersebut (Vizzotto *et al.*, 2014).

Pada uji kandungan golongan senyawa dengan metode Kromatografi Lapis Tipis (KLT) dalam ekstrak etanol 96%. Buah persik memiliki kandungan senyawa alkaloid dan flavonoid, pada ekstrak etil asetat buah persik memiliki kandungan flavonoid, pada uji ekstrak kloroform buah persik menunjukan memiliki kandungan senyawa golongan alkaloid dan flavonoid, ekstrak n-heksan buah persik tidak mempunyai kandungan senyawa golongan alkaloid, flavonoid dan polifenol.

Tabel 2.1 Kandungan senyawa ekstrak etanol buah persik

No.	Senyawa	Ektrak etanol	Ekstrak etil	Ekstrak	Ekstrak n-
		96%	asetat	kloroform	heksan
1.	Alkaloid	V	-		-
2.	Flavonoid	$\sqrt{}$	$\sqrt{}$	$\sqrt{}$	-
3.	Polifenol	-	-	-	-
75.1	2015				

(Bhagawan, 2017)

Buah persik mengandung flavonoid yang cukup tinggi (Bhagawan, 2017). Keberadaan flavonoid banyak dikaitkan dengan aktivitas fitoestrogenik. Fitoestrogen merupakan senyawa yang berasal dari alam dengan struktur, aktivitas maupun afinitas yang sama dengan estrogen yang ditemukan dalam tubuh mamalia. Senyawa fitoestrogen mampu memberikan aktivitasnya setelah berikatan dengan reseptornya (Mirza *et al.*, 2021). Fitoestrogen ini secara alami menjadi bahan kimia yang dapat berinteraksi dengan reseptor estrogen untuk melemahkan estrogen atau dengan kata lain sebagai antiestrogen (Mulyati, 2019). Senyawa fitoestrogen juga memiliki sifat estrogenic yang berasal dari tumbuhan. Fitoestrogen berhubungan dengan beberapa kelas senyawa kimia seperti flavon, flavonon, isoflavone, coumestan, dan lignan. Pada

Gambar 2.3 menunjukan struktur senyawa pada buah persik yang tergolong dalam senyawa fitoestrogen.

2,2'-(4-Methyl-2-oxo-3-propyl-2H-chromone-5,7-diyl)bis(oxy) diacetic acid

Quercetin-3-O-rutinoside

Kaempferol-3-O-rutinoside

Cyanidin-3-O-glucoside

Epicatechin

Quercetin-3-O-glucoside

Quercetin-3-O-galactoside

Cyanidin-3-O-rutinoside

Catechi

Procyanidin B1 dimer

Epigallocatechin

Gambar 2.3 Struktur senyawa fitoestrogen buah persik (*Prunus persica* (L.) Sumber: Gambar diadaptasi dari laporan penelitian oleh (Bento *et al.*, 2020) dan (Winartiana, 2019)

3. Manfaat buah persik

Pada buah persik segar kandungan antioksidan lebih tinggi dibandingkan dengan buah persik olahan. Antioksidan merupakan komponen pada tumbuhan yang bermanfaat dalam melawan kerusakan oksidatif serta melindungi tubuh dari penuaan dan berbagai macam penyakit. Kandungan vitamin C pada buah persik bermanfaat bagi kesehatan kulit yakni dapat memperbaiki tekstur, menjaga elastisitas dan mempertahankan kelembaban kulit. Daging buah dari buah persik kaya akan karotenoid dan asam caffeic, keduanya merupakan jenis antioksidan yang memiliki manfaat antikanker (Giziklopedia, 2021).

B. Data Aktivitas

Docking (penambatan) berarti perlakuan satu molekul (ligan) disekitar molekul lainnya (protein) sehingga terjadi orientasi untuk terjadinya interaksi antara kedua molekul (Dar & Mir, 2017). Docking dilakukan menggunakan software Pyrx berbasis Autodock Vina dan diamati beberapa parameter yakni energi ikatan, RMSD, dan profil ikatan ligan dengan residu asam amino. Koordinat atau grid box disesuaikan dengan hasil validasi pada Tabel 4.5, karena koordinat tersebut merupakan tempat ligan alami berinteraksi dengan protein ER-β.

Penambatan molekul senyawa (ligan) kepada reseptor (protein target) dilakukan menggunakan software Autodock Vina yang dapat diakses melalui software Pyrx. Software ini dapat melakukan proses penambatan molekul dalam jumlah yang lebih dari satu sekaligus dan meminimalisir ukuran senyawa agar proses penambatan molekul dapat dilakukan dengan cepat. Penambatan molekul menggunakan Autodock Vina akan memperoleh score hasil penambatan dari interaksi anatar suatu molekul senyawa dengan protein target. Dalam proses docking menggunakan Autodock Vina, ligan ditambahkan terlebih dahulu yang kemudian dilakukan penambahan makromolekul untuk penentuan grid box atau posisi active site dari protein. Setelah itu akan di-forward untuk proses scoring energi katan antara ligan dan protein target. Jika nilai affinity (energi ikatan) mode 1 dari ligan uji semakin rendah maka dikatakan layak untuk dilanjutkan ketahap visualisasi hasil docking (Rastini et al., 2019).

Docking (penambatan) dilakukan untuk mengetahui interaksi senyawa/ligan dengan protein target/reseptor (Dar & Mir, 2017). 11 senyawa fitoestrogen yang telah di-docking dengan protein ER-β ditemukan senyawa yang berpotensi sebagai anti kanker

payudara adalah senyawa Catechi, Cyanidin-3-O rutinoside, Quercetin-3-O-rutinoside. Hasil yang diperoleh dari *docking* senyawa uji dengan protein ER-β yaitu berupa energi ikatan, RMSD, dan profil ikatan ligan-protein. Hasil penambatan ligan uji senyawa fitoestrogen buah persik dengan reseptor ER-β dapat dilihat pada tabel berikut:

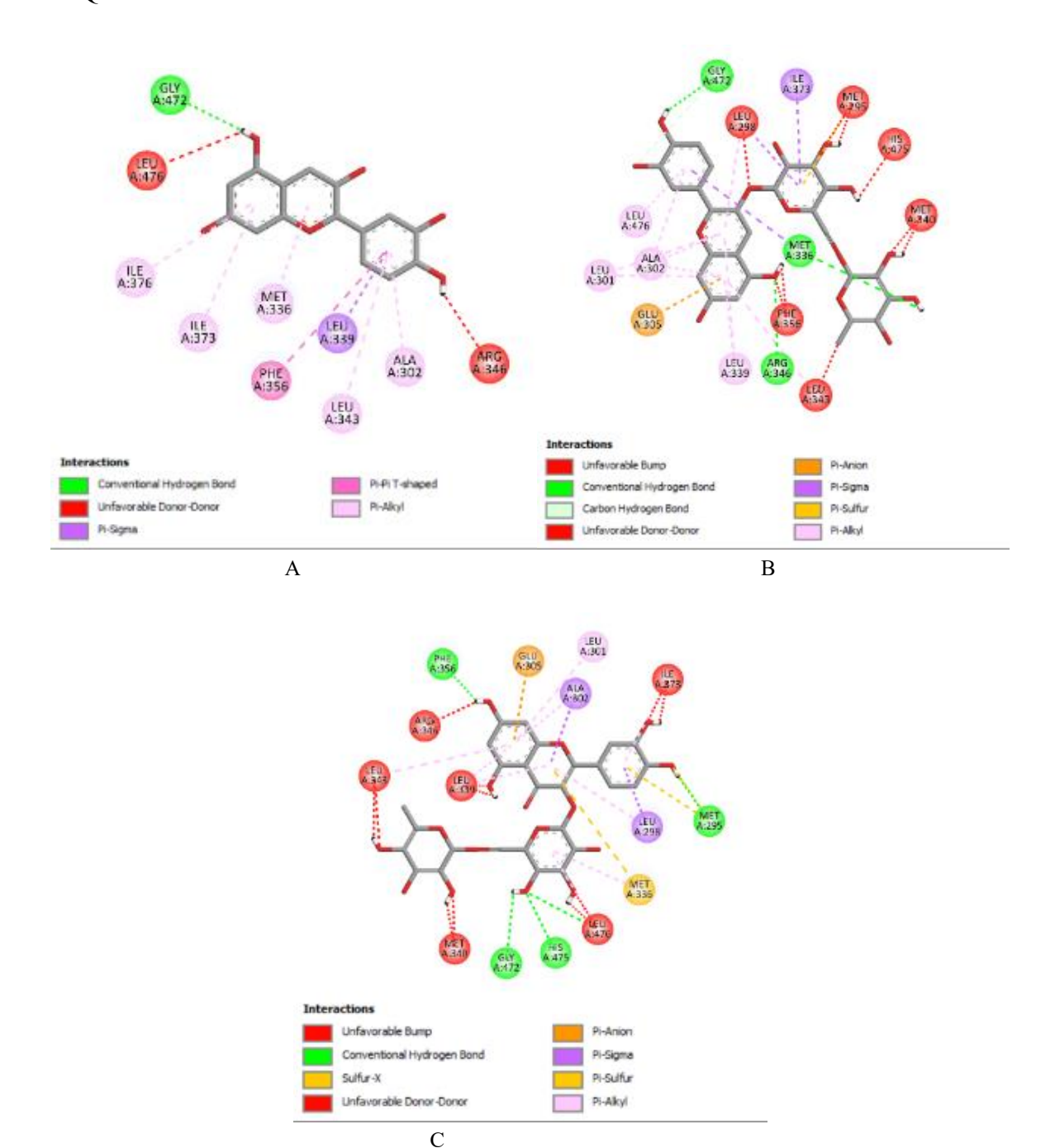
Tabel 4.6 Interaksi ligan uji dengan Protein ER-β

No.	Ligand	Energi	RMSD/	RMSD/	Ikatan	Ikatan Lain
	Ü	Ikatan	lb	ub	Hidrogen	
1.	Catechi	-7,1	0,0	0,0	GLY472	ILE376, ILE373,
	(8)					MET336, ALA302,
						LEU434, PHE356,
						ARG346, LEU476,
						LEU339
2.	Cyanidin-	-7,4	0,0	0,0	ARG346,	LEU476, ALA302,
	3-O-				MET336,	LEU301, LEU339,
	rutinoside				GLY472	ILE373, GLU 305,
	(6)					LEU298, PHE356,
						LEU343, MET295,
						HIS475, MET340
3.	Quercetin-	-7,2	0,0	0,0	GLY472,	LEU343, ARG346,
	3-O-				HIS475,	LEU339, MET340,
	rutinoside				MET295,	ILE373, LEU476,
	(3)				PHE356	GLU305, LEU301,
						ALA302, LEU298,
						MET336

Berdasarkan data hasil docking pada tabel 4.7 antara ligan senyawa fitoestrogen buah persik dengan protein target kanker payudara ER-β, diketahui bahwa senyawa fitoestrogen buah persik dapat berinteraksi dengan sisi aktif dari protein target. Diantaranya berhasil memperoleh nilai konformasi energi ikatan mencapai (-7,1) kkal/mol yaitu senyawa Catechi, (-7,4) yaitu senyawa Cyanidin-3-O-rutinoside, (-7,2) yaitu senyawa Quercetin-3-O-rutinoside. Hasil energi ikatan ketiga senyawa tersebut tergolong paling rendah dibandingkan dengan senyawa lain yang mengindikasikan bahwa ketiga senyawa tersebut merupakan senyawa yang berpotensi sebagai kandidat obat apabila berikatan dengan protein target. Energi ikatan merupakan ukuran kemampuan obat untuk berikatan dengan reseptor (protein). Semakin kecil nilai energi ikatan maka afinitas antara reseptor dengan ligan semakin tinggi dan sebaliknya jika semakin besar nilai energi ikatan maka afinitas antara reseptor semakin rendah (Saputri et al., 2016). Energi ikatan menunjukan besarnya afinitas antara senyawa uji dengan reseptor target. Semakin rendah nilai energi ikatan menunjukan ikatan antara protein dan ligan yang dihasilkan semakin stabil (Manna et al., 2017). Pengikatan protein-ligan hanya terjadi secara spontan ketiuka energi bebas bernilai negatif dan energi bebas ikatan sebanding dengan stabilitas interaksi protein-ligan (Du et al., 2016). Oleh karena itu, protein-ligan terjadi energi ikatan energi bebas ikatan mengindikasikan kestabilan kompleks ligan-protein dan ini merupakan karakteristik penting dalam kemanjuan suatu obat (Mohamad *et al.*, 2017).

Visualisasi hasil *docking* interaksi ikatan struktur 3D dan 2D dilakukan dengan memanfaatkan *software Discovery studio*. Berikut visualisasi hasil *docking* dari ligan

dengan nilai energi ikatan terendah yaitu senyawa catechi, Cyanidin-3-O-rutinoside, dan Quercetin-3-O-rutinoside.



Gambar 4.10 Interaksi senyawa uji dengan protein ER-β interaksi senyawa catechi dengan asam amino (A), interaksi senyawa cyanidin-3-O-rutinoside dengan asam amino (B), interaksi senyawa Quercetin-3-O-rutinoside dengan asam amino (C)

Visualisasi *docking* antara makromolekul Estrogen Reseptor Beta (ER-β) dengan ligan catechi menunjukan berbagai ikatan energi yang terbentuk, diantaranya yang mendominasi adalah ikatan hidrofobik seperti yang terlihat pada residu asam amino LEU 476, ARG 346, LEU 339, PHE 356, ILE 376, ILE 373, MET 336, LEU 343, ALA 362. Selain itu terdapat ikatan hidrogen bond pada residu asam amino GLY 472, yakni antara atom H paga gugus OH (donor) dengan asam amino pada atom O pada gugus C=O

(acceptor). Hal tersebut menandakan adanya interaksi antara ligan catechi dengan sisi aktif makromolekul ER-β. Penelitian ini didukung oleh penelitian yang dilakukan oleh (Kirtishanti *et al.*, 2022) tentang Aktivitas Sitotoksik Ekstrak Biji Alpukat (*Persea Americana* Mill.) pada Sel Kanker Payudara secara *In silico* yang menyatakan bahwa senyawa epicatechin gallate memiliki aktivitas sitotoksik paling besar dibandingkan senyawa lain pada biji buah alpukat dari hasil uji *In silico* pada resepor estrogen.

Visualisasi *docking* antara makromolekul Estrogen Reseptor Beta (ER-β) dengan ligan Quercetin-3-O-rutinoside menunjukan berbagai ikatan energi yang terbentuk, diantaranya yang mendominasi adalah ikatan hidrofobik seperti yang terlihat pada residu asam amino LEU 343, MET 340, LEU 339, LEU 476, ARG 346, ILE 373, MET 336, ALA 302, LEU 298, LEU 301. Terbentuk pula ikatan elestrostatic pada residu asam amino GLU 305. Selain itu terdapat ikatan hidrogen bond pada residu asam amino PHE 356, GLY 472, HIS 475, MET 295. Ikatan hidrogen pada residu asam amino GLY 472, yakni antara atom H pada gugus OH (donor) dengan asam amino pada atom O pada gugus C=O (acceptor). Ikatan hidrogen pada residu asam amino pada gugus NH3 (acceptor). Ikatan hidrogen pada residu asam amino PHE 356, yakni antara atom H pada gugus OH (donor) dengan asam amino pada atom O pada gugus C=O (acceptor). Hal tersebut menandakan bahwa terjadi interaksi antara ligan Quercetin-3-O-rutinoside dengan sisi aktif makromolekul ER-β.

Visualisasi *docking* antara makromolekul Estrogen Reseptor Beta (ER-β) dengan ligan cyanidin-3-O-rutinoside menunjukan berbagai ikatan energi yang terbentuk, diantaranya yang mendominasi adalah ikatan hidrofobik seperti yang terlihat pada residu asam amino LEU 298, PHE 355, LEU 343, MET 295, HIS 475, MET 340, ILE 373, LEU 476, ALA 302, LEU 301, LEU 339 yang menandakan adanya aktifitas hidrofobik. Terbentuk pula ikatan elektrostatic seperti yang terlihat pada residu asam amino GLU 305. Selain itu terdapat ikatan hidrogen bond pada residu asam amino ARG 346, MET 336, GLY 472. Ikatan hidrogen pada residu asam amino ARG 346, yakni pada atom O pada gugus OH (donor) dengan asam amino pada atom H pada gugus NH₂ (acceptor). Ikatan hidrogen pada residu asam amino GLY 472, yakni pada atom H pada gugus OH (donor) dengan asam amino pada atom O pada gugus C=O (acceptor). Hal tersebut menandakan bahwa terjadi interaksi antara ligan cyanidin-3-O-rutinoside dengan sisi aktif makromolekul ER-β. Dilihat dari besar energi ikatan dan jenis ikatan yang terbentuk, senyawa cyanidin-3-O-rutinoside diduga paling berpotensi sebagai kandidat obat kanker payudara dibandingkan dengan dua senyawa lainnya. Penelitian terdahulu yang dilakukan oleh (Yuransyah et al., 2016) menyebutkan bahwa senyawa dari golongan alkaloid dari bunga Tapak Dara tidak berpotensi sebagai antikanker payudara pada reseptor estrogen beta dilihat dari nilai energi ikatan yang terbentuk. Hal ini menjadi perbandingan bahwa hasil penelitian yang telah dilakukan yaitu senyawa cyanidin-3-O-rutinoside tergolong dalam senyawa antosianin yang mampu berinteraksi dengan reseptor estrogen beta dan berpotensi sebagai antikanker payudara dibandingkan senyawa lain.

Selain en ergi ikatan, jenis interaksi molekuler seperti ikatan hidrogen, hidrofobik, dan interaksi elektrostatik, dengan residu asam amino menunjukan ligan docking dalam konformasi yang perlu dipertimbangkan (Mohamad et al., 2017).

Berdasarkan hasil visualisasi *docking* antara reseptor target ER-β dengan ketiga senyawa menunjukan berbagai ikatan yang terbentuk, diantaranya yang mendominasi residu asam amino adalah ikatan hindrofobik yang terlihat pada setiap hasil visualisasi yang menandakan adanya aktifitas hidrofobik. Ikatan hidrofobik merupakan kontributor utama stabilitas protein. Ikatan hidrogen juga mendukung stabilitas protein, tetapi pada tingkat yang lebih rendah daripada ikatan hidrofobik (Hariono *et al.*, 2016). Ikatan hidrofobik juga merupakan molekul non polar yang tidak larut dalam air dan ikatan yang penting pada proses penyatuan daerah non polar molekul ligan dengan daerah non polar reseptor target (Hariz, 2019).

Terbentuk pula ikatan elektrostatic yang terlihat pada visualisasi ketiga senyawa yang menandakan adanya interaksi elestrostatic. Ikatan electrostatic umumnya dikaitkan dengan afinitas pengikatan, struktur, karakteristik kimia, dan stabilitas, dan dengan reaktivitas biologis protein dan asam nukleat (Klebe, 2013). Menurut Apriani (2015), adanya interaksi elestrostatic dan ikatan hidrofobik juga memberikan kontribusi pada nilai energi ikatan dari konformasi ligan reseptor selain ikatan hidrogen. Interaksi electrostatic hanya terlihat pada interaksi ligan cyanidin-3-O-rutinoside dengan reseptor ER-β dan terlihat pada interaksi ligan Quercetin-3-O-rutinoside dengan reseptor ER-β yakni jenis pianion, hal ini diduga memberi kontribusi yang baik terhadap energi ikatan yang terbentuk.

Selain itu, yang terpenting adalah berhasil terjadi interaksi antara senyawa dengan sisi aktif dari reseptor ER-β yang ditandai dengan terbentuknya energi berupa ikatan hidrogen bond. Ikatan hidrogen (H) sangat sering diamati antara ligan dan reseptor. Pasangan pembawa proton (yang disebut donor ikatan hidrogen) dalam sistem biologis (protein/reseptor) biasanya adalah gugus NH3 atau OH. Ikatan tersebut mencapai kekuatan yang besar karena atom hidrogen dari kelompok donor terikat pada atom yang sangat elektronegatif, dimana kerapatan electron atom hidrogen bergeser ke atom tetangga (Pace *et al.*, 2011). Ikatan hidrogen dan hidrofobik yang menyebabkan perubahan aktivitas biologis dan memberikan efek farmamologi tertentu atau dengan kata lain senyawa tersebut dapat bereakasi sebagai obat apabila berikatan dengan reseptor penanda pada kanker payudara (Alfisah, 2020).

Hasil *docking* ketiga senyawa yang telah divisualisasikan merupakan senyawa fitoestrogen yang berfungsi sebagai Modulator Estrogen Spesifik (SERMs). Modulator estrogen spesifik akan berinteraksi dengan reseptor estrogen untuk menghasilkan efek antiestrogenic. Mekanisme fitoestrogen dalam bentuk modulator estrogen spesifik yang berinteraksi dengan reseptor estrogen akan menbentuk efek terapi yang serupa dengan efek penggunaan tamoxifen. SERMs bekerja dengan menembus membrane sel dan berikatan dengan reseptor estrogen, kemudian membentuk kompleks dan bertranslokasi ke nukleus dan kemudian berikatan dengan Estrogen Respon Element (ERE). Kompleks tersebut selanjutnya akan berikatan dengan protein ko-repressor CoR yang akan menekan proses transkripsi reseptor target dan kemudian mengatur proliferasi sel (Fitriah, 2017).

Potensi Senyawa Temu Griring (*Curcuma heyneana*) terhadap PROTEIN M^{pro} SARS CoV-2: melalui *Molecular Docking*

Elyn Dwi Agutin, Pudjono, Syaiful Prayogi

Covid-19 merupakan penyakit infeksi Severe Acute Respiratory Syndrome Coronavirus 2 (SARS-CoV-2). Protein M^{pro} merupakan protease yang terlibat dalam pembentukkan kompleks replikasi virus corona, disebut sebagai target obat terbaik yang potensial untuk terapi. Salah satu tanaman tradisional yang paling potensial untuk pengobatan adalah temu giring (Curcuma heyneana). Tanaman temu giring salah satu penggolongan obat yang secara spesifik digunakan untuk mengobati infeksi virus. Tanaman temu giring (Curcuma heyneana) mengandung berbagai metabolit sekunder sala satunya sesquiterpen. Senyawa golongan sesquiterpen pada beberapa penelitian memiliki bioaktivitas sebagai antivirus. Penelitian ini bertujuan untuk mengetahui senyawa golongan sesquiterpen dari temu giring yang memiliki aktivitas sebagai antivirus Covid-19 melalui molecular docking, serta menganalisis bagaimana aktivitas antivirus pada senyawa golongan sesquiterpen dari temu giring terhadap protein M^{pro}. Penelitian ini merupakan penelitian kualitatif eksplroratif dengan mengidentifikasi kompleksasi dan efek dari penyatuan ligan yang berasal dari senyawa tanaman dengan protein target dari penyakit Covid-19 menggunakan metode molecular docking secara in silico. Molecular docking dilakukan melalui beberapa tahap diantaranya pemodelan dan optimasi struktur senyawa, preparasi protein M^{pro}, validasi docking, proses docking, dan visualisasi interaksi. Terdapat 24 senyawa golongan sesquiterpen temu giring (Curcuma heyneana) yang dilakukan penelitian. Hasil penelitian menunjukkan bahwa senyawa golongan sesquiterpen dari temu giring yaitu heyneanone A, heyneanone B, dan heyneanone C berpotensi sebagai antivirus Covid-19 yang ditunjukkan dengan nilai energi ikatan yaitu -6,8 dan ikatan yang terbentuk berupa hidrofobik, dan hidrogen.

A. Temu Giring (Curcuma heyneana)

1. Klasifikasi Temu Giring (Curcuma heyneana)

Kingdom : Plantae
Sub divisi : Angiospermae
Divisi : Spermatophyta
Kelas : Monocotyledoneae

Ordo : Zingiberales
Famili : Zingiberaceae
Genus : Curcuma

Spesies : Curcuma heyneana Valeton & Zijp

(Faradila, 2021)



Gambar 2.1 Rimpang temu giring (Ichshanti, 2013)

2. Definisi umum

Temu giring merupakan tanaman dengan batang semu yang tingginya mencapa 1 meter. Rimpang temu giring beraroma khas dan berwarna kuning. Temu giring mempunyai daun bertepi rata dan runcing, warnanya hijau dan berpelepah sehingga saling melekat membentuk batang semu. Bunga dari tanaman temu giring kebanyakan berbulu dan mempunyai tangkai hingga panjang 40 cm serta kelopak bunga dengan warna kuning. Buah dari temu giring berbentuk bulat berwarna coklat kehitaman. Temu giring tumbuh di daerah dengan ketinggian hingga 750 mdpl. Tanaman ini sering dijumpai di perumahan ataupun di hutan dengan suasana yang teduh. Budidaya tanaman temu giring dapat dilakukan dengan steak rimpang induk atau rimpang cabang yang bertunas (Putri, 2018)

Temu giring (*Curcuma heyneana*) merupakan jenis tanaman yang termasuk ke dalam keluarga *Zingiberaceae*. Temu giring biasa disebut dengan temureng dan temupala. Di daerah Bali tanaman ini dinamakan temu poh. Temu giring dapat tumbuh dengan cuaca hujan tinggi, cerah maupun kemarau sekalipun, dengan suhu udara yang diperlukan 19°C - 30°C. Temu giring membutuhkan daerah yang lembab dan penyinaran yang tinggi (Jalil, 2019)

3. Manfaat

Bagi masyarakat Indonesia, rimpang dari tanaman temu giring digunakan untuk perawatan kecantikan sebagai lulur, mengobati perasaan yang tidak tenang, sebagai obat cacing, menyembuhkan kulit terkelupas dan luka, serta sebagai pelangsing tubuh (Putri, 2018). Dalam penelitian lain menyebutkan bahwa tanaman temu giring juga dimanfaatkan untuk mengatasi haid tidak teratur, obat rematik, menambah nafsu makan, meningkatkan stamina, menghaluskan kulit, obat jerawat, obat cacar air dan obat batuk (Layaly, 2018)

Temu giring memiliki banyak khasiat dan mudah di tanam dalam segala kondisi, sehingga tanaman ini masuk ke dalam 26 tanaman obat yang direkomendasikan di tanam di wilayah perkotaan sebagai apotik hidup. Temu giring oleh masyarakat Madura dimanfaatkan sebagai bahan untuk membuat pilis yang digunakan untuk melancarkan peredaran darah pada bagian kepada pada ibu yang sedang melakukan persalinan. Selain itu di Sumenep temu giring dibuat lulur scrap yang dicampur dengan temulawak, kulit kerang, beras, dan bahan dupa yang dipercaya masyarakat dapat menghaluskan dan membersihkan kulit, dan juga bermanfaat sebagai obat cacingan (Faradila, 2021)

4. Aktivitas Farmakologi

Temu giring merupakan salah satu dari anggota *Zingiberaceae* yang mempunyai warna rimpang berwarna kuning cerah. Temu giring memiliki berbagai macam aktivitas seperti antioksidan, antivirus, antiaging, antimikroba antiinflamasi, antidiabetes, dan antikanker. Senyawa aktif yang umumnya bertanggungjawab terhadap aktivitas farmakologi adalah golongan fenol, flavonoid, saponin dan minyak atsiri (Putri, 2018)

Tanaman temu giring dapat dimanfaatkan sebagai obat antivirus. Salah satu penggolongan obat yang secara spesifik digunakan untuk mengobati infeksi virus (Jalil, 2019). Temu giring oleh Lolita (2014), dibuat jamu viranur yang mampu menurunkan titer virus menjadi 20. Dengan demikian temu giring memiliki kemampuan antivirus (Lolita *et al.*, 2014)

5. Kandungan Kimia

Tanaman temu giring mengandung minyak atsiri, amilum, damar, lemak, tannin, saponin, dan flavonoida (Jalil, 2019). Selain itu juga temu giring mengandung zat pewarna atau pigmen yaitu kurkumin dan kandungan lainnya seperti pati juga terdapat dalam temu giring (Layaly, 2018). Pada penelitian lain juga menyebutkan bahwa temu giring mengandung berbagai jenis senyawa sesquiterpenoid seperti, heyneanone A, heyneanone B, heyneanone C, heyneanone D, 4,10- epizedoarondiol, 15-hidroksiprokurkumenol, 12- hidroksi-kurkumenol, serta curcumanolides C dan D yang termasuk dalam 9 sesquiterpen baru pada tanaman temu giring. Sedangkan, golongan sesquiterpen lainnya yaitu gajutsulactone A, caulolactone B, zedoarondiol, isozedoarondiol, guaidiol A, epiguaidiol A, procur-cumenol, aerugidiol, isocurcumenol, oxycurcumenol epoxide, curcumanolides A dan B, cyperusol C, zerumin A, serta (E)-15,16-bisnorlabda-8(17),11-dien-13-one (Saifudin et al., 2013)

B. Hasil Docking

Penambatan (*docking*) adalah proses dimana dua molekul dicocokkan melalui penambatan dalam ruang 3D (Frimayanti *et al.*, 2019). *Docking* dilakukan menggunakan software *Pyrx* berbasis *Autodock Vina* dan diamati beberapa parameter yakni energi ikatan, RMSD, dan profil ikatan ligan dengan residu asam amino. Koordinat atau *grid box* disesuaikan dengan hasil validasi pada Tabel 4.3, karena koordinat tersebut merupakan tempat ligan alami berinteraksi dengan protein M^{pro}.

TC 1 1 4 4 1 '1	1 1 1 .	1		1.	1	· A foro
Table 4.4 hasil	l docking	dan	interaksi	ligan	iiii dengan	profein MP
I do lo i i i i i i i i i i i i i i i i i i	Lucciunts	uuii	mitter	115011	all acityan	proteinin

No	Senyawa	RMSD /lb	RMSD /ub	Energi ikatan (kkal/ mol)	Ikatan hidrogen	Interaksi lainnya
1.	heyneanone A (1)	0,0	0,0	-6,8	GLU 166, HIS 41	HIS 163, HIS 172
2.	heyneanone B (2)	0,0	0,0	-6,8	HIS 41, ASN 142, GLU 166	HIS 172, HIS 163
3.	heyneanone C (3)	0,0	0,0	-6,8	GLU 166, ASN 142, CYS 145, HIS 41, HIS 164	HIS 163, HIS 172

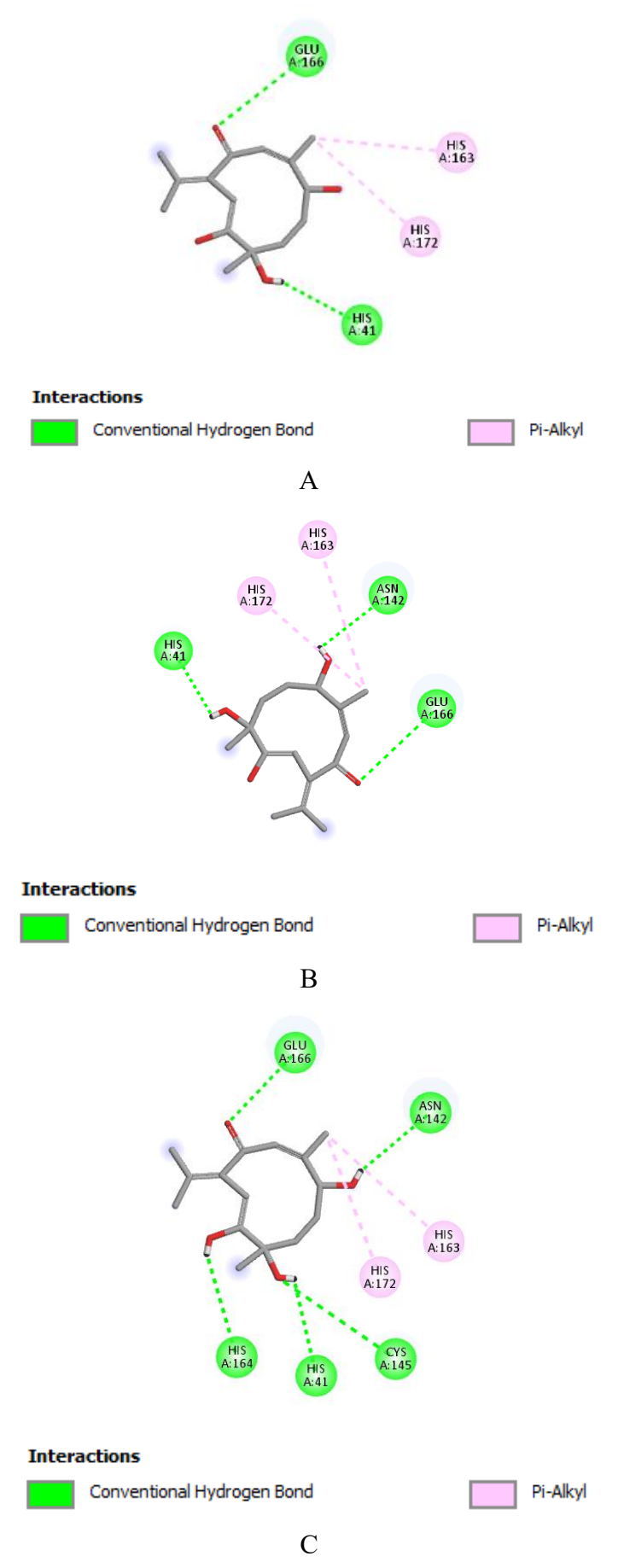
Penambatan molekul senyawa (ligan) ke reseptor (protein target) dilakukan dengan menggunakan perangkat lunak *Autodock Vina* yang dapat diakses melalui perangkat lunak *Pyrx*. Perangkat lunak ini dapat melakukan proses *docking* dengan jumlah lebih dari satu sekaligus dan meminimalkan ukuran senyawa sehingga *docking* dapat dilakukan dengan cepat.

Penambatan molekul menggunakan *Autodock Vina* akan menghasilkan skor karena adanya interaksi antara molekul senyawa dengan protein target. Selama proses *docking* menggunakan *Autodock Vina*, ligan ditambahkan terlebih dahulu kemudian ditambahkan makromolekul untuk menentukan *grid box* atau *active site* protein. Kemudian diteruskan untuk scoring energi ikatan antara ligan dan protein target. Jika nilai *affinity* (energi ikatan) mode 1 ligan yang diuji lebih rendah, tahap visualisasi hasil *docking* dapat dilanjutkan (Rastini *et al.*, 2019).

24 senyawa sesquiterpen yang telah di-*docking* dengan protein M^{pro} ditemukan senyawa yang berpotensi sebagai obat Covid-19 adalah senyawa heyneanone A, heyneanone B, heyneanone C. Hasil yang diperoleh dari *docking* senyawa uji dengan protein M^{pro} yaitu berupa energi ikatan, RMSD, dan profil ikatan ligan-protein. Hasil penambatan ligan uji senyawa golongan sesquiterpen pada temu giring dengan protein M^{pro} dapat dilihat pada tabel 4.3.

Berdasarkan data hasil *docking* pada tabel 4.3 antara ligan senyawa golongan sesquiterpen pada temu giring dengan protein target M^{pro} SARS-CoV-2, diketahui bahwa senyawa golongan sesquiterpen pada temu giring dapat berinteraksi dengan sisi aktif dari protein target. Nilai konformasi energi ikatan yang diperoleh yaitu pada senyawa heyneanone A, heyneanone B, dan heyneanone C adalah sebesar -6,8 kkal/mol. Hasil energi ikatan ketiga senyawa tersebut tergolong paling rendah dibandingkan dengan senyawa lain yang mengindikasikan bahwa ketiga senyawa tersebut merupakan senyawa yang berpotensi sebagai kandidat obat apabila berikatan dengan protein target. Energi ikatan merupakan ukuran kemampuan obat untuk berikatan dengan reseptor (protein). Semakin kecil nilai energi ikatan maka afinitas antara reseptor dengan ligan semakin tinggi dan sebaliknya jika semakin besar nilai energi ikatan maka afinitas antara reseptor semakin rendah (Saputri *et al.*, 2016). Energi ikatan menunjukkan besarnya afinitas antara senyawa uji dengan reseptor target. Semakin rendah nilai energi ikatan menunjukkan ikatan antara protein dan ligan yang dihasilkan semakin stabil (Atiatul *et al.*, 2017).

Visualisasi hasil *docking* interaksi ikatan struktur 3D dan 2D dilakukan dengan menggunakan *software Biovia discovery studio*. Berikut visualisasi hasil *docking* dari ligan dengan nilai energi ikatan terendah.



Gambar 4.4 Interaksi senyawa uji dengan protein \mathbf{M}^{pro}

Interaksi senyawa heyneanone A dengan asam amino (A), interaksi senyawa heyneanone B dengan asam amino (B), interaksi senyawa heyneanone C dengan asam amino (C)

Visualisasi *docking* antara makromolekul M^{pro} dengan ligan heyneanone A menunjukkan hasil bahwa hanya terdapat ikatan hidrogen bond pada residu asam amino GLU 166 dan HIS 41. Ikatan hidrogen pada residu asam amimo GLU 166 yakni terdapat pada atom H pada gugus OH (donor) dengan asam amino pada atom O pada gugus C=O (*acceptor*). Ikatan hidrogen pada residu asam amino HIS 41 yakni terdapat pada atom H pada gugus OH (donor) dengan asam amino pada atom C pada gugus C=O (*acceptor*). Hal tersebut menandakan adanya interaksi antara ligan heyneanone A dengan sisi aktif makromolekul M^{pro}. Selain itu juga terdapat ikatan hidrofobik yaitu pada residu asam amino HIS 163, dan HIS 172 yang menunjukkan bahwa terdapat aktifitas hidrofobik.

Visualisasi *docking* antara makromolekul Main protease (M^{pro}) dengan ligan heyneanone B menunjukkan hasil bahwa terdapat ikatan hidrofobik pada residu asam amino HIS 163 dan HIS 172 yang menunjukkan bahwa terdapat aktifitas hidrofobik. Selain itu juga terdapat ikatan Hidrogen yaitu pada residu asa amino HIS 41, GLU 166 dan ASN 142. Ikatan Hidrogen pada residu asam amino HIS 41 yakni terdapat pada atom H pada gugus OH (donor) dengan asam amino pada atom C pada gugus C=O (*acceptor*). Ikatan Hidrogen pada residu asam amino pada atom O pada gugus C=O (*acceptor*). Ikatan Hidrogen pada residu asam amino ASN 142 yakni terdapat pada atom H pada gugus OH (donor) dengan asam amino pada atom C pada gugus C=O (*acceptor*). Hal tersebut menandakan adanya interaksi antara ligan heyneanone B dengan sisi aktif makromolekul M^{pro}.

Visualisasi *docking* antara makromolekul Main protease (M^{pro}) dengan ligan heyneanone C menunjukkan hasil bahwa terdapat ikatan hidrofobik pada residu asam amino HIS 163 dan HIS 172 yang menunjukkan bahwa terdapat aktifitas hidrofobik. Selain itu juga terdapat ikatan hidrogen yaitu pada residu asam amino HIS 41, GLU 166, ASN 142, HIS 164 dan CYS 145. Ikatan hidrogen pada residu asam amino HIS 41 yakni terdapat pada atom H pada gugus OH (donor) dengan asam amino pada atom C pada gugus C=O (*acceptor*). Ikatan hidrogen pada residu asam amino pada atom O pada gugus C=O (*acceptor*). Ikatan hidrogen pada residu asam amino ASN 142 yakni terdapat pada atom H pada gugus OH (donor) dengan asam amino pada atom C pada gugus C=O (*acceptor*). Ikatan hidrogen pada residu asam amino HIS 164 yakni terdapat pada atom H pada gugus OH (donor) dengan asam amino pada atom O pada gugus C=O (*acceptor*). Ikatan hidrogen pada residu asam amino pada atom O pada gugus C=O (*acceptor*). Ikatan hidrogen pada residu asam amino pada atom O pada gugus C=O (*acceptor*). Ikatan hidrogen pada residu asam amino CYS 145 yakni terdapat pada atom O pada gugus OH (donor) dengan asam amino pada atom C pada gugus C=O (*acceptor*). Hal tersebut menandakan adanya interaksi antara ligan heyneanone C dengan sisi aktif makromolekul M^{pro}.

Berdasarkan hasil visualisasi *docking* antara reseptor target M^{pro} dengan ketiga senyawa menunjukkan berbagai ikatan yang terbentuk, diantaranya ikatan hydrogen dan ikatan hidrofobik. Ikatan hidrofobik dalam stabilitas protein merupakan kontributor utama. Ikatan hidrogen juga membantu stabilitas protein, tetapi pada tingkat yang lebih rendah daripada ikatan hidrofobik (Hariono *et al.*, 2016). Selain itu, yang paling penting adalah keberhasilan interaksi antara senyawa dan situs aktif protein M^{pro}, yang ditandai dengan pembentukan

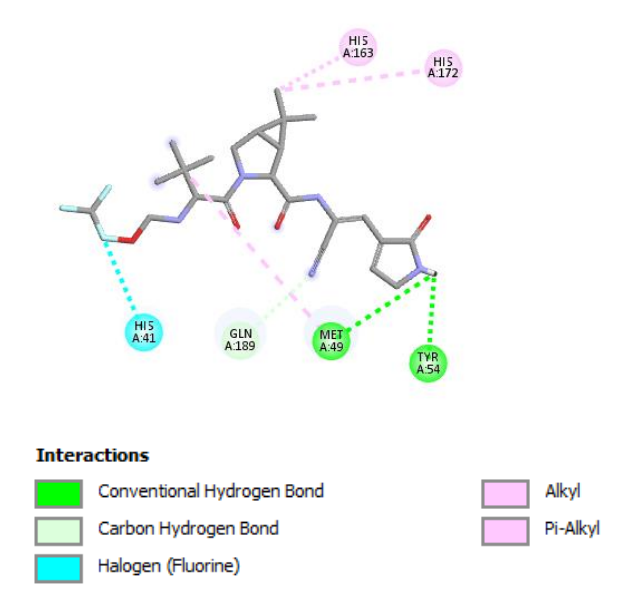
energi dalam bentuk ikatan hidrogen. Ikatan hidrogen (H) diamati sangat sering antara ligan dan reseptor. Pasangan pembawa proton (disebut donor ikatan hidrogen) dalam sistem biologis (protein/reseptor) biasanya adalah gugus NH₃ atau OH. Ikatan memperoleh kekuatan besar karena atom hidrogen kelompok donor terikat pada atom yang sangat elektronegatif, sehingga kerapatan elektron atom hidrogen bergeser ke atom lainnya (Pace *et al.*, 2011).

C. Hasil Docking Obat Pembanding

Tabel 4.5 hasil docking dan interaksi ligan pembanding (nirmatrelvir) dengan protein M^{pro}

No	Senyawa obat	RMSD /lb	RMSD /ub	Energi ikatan (kkal/mol)	Ikatan hidrogen	Interaksi lainnya
1.	Nirmatrelvir	0,0	0,0	-8	MET 49, TYR 54, GLN 189	HIS 41, HIS 163, HIS 172

Berdasarkan data hasil *docking* pada tabel 4.5 antara ligan senyawa Nirmatrelvir dengan protein target M^{pro} SARS-CoV-2, diketahui bahwa senyawa obat Nirmatrelvir dapat berinteraksi dengan sisi aktif dari protein target. Nilai konformasi energi ikatan yang diperoleh yaitu sebesar -8 kkal/mol yang dimana lebih kecil dari nilai konformasi energi ikatan pada heyneanone A, heyneanone B dan heyneanone C. Hal ini menunjukkan bahwa senyawa pembanding yaitu obat nirmatrelvir yang telah digunakan untuk mengobati Covid-19 lebih berpotensi sebagai anti SARS-CoV-2 dibanding dengan senyawa golongan sesquiterpen pada tanaman temu giring, karena nilai konformasi energi ikatan pada senyawa nirmatrelvir lebih kecil dibandingkan dengan senyawa golongan sesquiterpen pada temu giring yaitu heyneanone A, heyneanone B, serta heyneanone C.



Gambar 4.5 Interaksi senyawa pembanding (nirmatrelvir) dengan protein M^{pro}

Visualisasi hasil *docking* antara makromolekul M^{pro} dengan ligan nirmatrelvir menunjukkan adanya ikatan hidrofobik yaitu pada residu asam amino HIS 163, HIS 172, HIS 41 dengan demikian menandakan bahwa ligan memiliki aktifitas hidrofobik. Selain ikatan hidrofobik, terdapat juga ikatan hidrogen berupa Conventional hidrogen yaitu pada

residu asam amino MET 49 dan TYR 54, serta Carbon hidrogen yang terdapat pada residu asam amino GLN 189. Ikatan hidrogen pada residu asam amino MET 49 yakni antara atom H pada gugus NH (donor) dengan asam amino pada atom C pada gugus C=O (*acceptor*), Ikatan hidrogen pada residu asam amino TYR 54 yakni antara atom H pada gugus NH (donor) dengan asam amino pada atom C pada gugus C=O (*acceptor*), Ikatan hidrogen pada residu asam amino GLN 189 yakni antara atom H pada gugus OH (donor) dengan asam amino pada atom O pada gugus C=O (*acceptor*), hal ini menandakan bahwa terjadi interaksi antara ligan nitmetralvir dengan sisi aktif makromolekul M^{pro}

Penelitian hampir sama dilakukan oleh Ding Luo (2022) (Luo et al., 2022) dimana menelusuri secara sistematis mekanisme interaksi dari serangkaian novel yang mengandung bicloproline pada M^{pro} SARS-CoV-2 (7D3I) inhibitor melalui pendekatan pemrosesan terintegrasi. Pada penelitian Ding Luo (2022) dibandingkan dengan penelitian ini terdapat persamaan yaitu pada hasil docking yang menunjukkan beberapa residu asam amino berinteraksi pada ikatan hidrogen yang sama yaitu GLU 166, ASN 142, CYS 145, HIS 164. Pada penelitian Ding Luo (2022), dilakukan rancangan enam novel M^{pro} SARS-CoV-2 yang dimodifikasi secara struktural inhibitor berdasarkan studi QSAR. Empat senyawa yang dirancang dengan skor docking lebih tinggi dieksplorasi lebih lanjut tidak hanya melalui docking molekul. Hasil docking yang dilakukan yaitu senyawa N1 dengan nilai energi ikatan -7,1 kkal/mol dan visualisasi hasil *docking* menunjukkan ikatan hidrogen pada residu asam amino ASN 142, SER 144, HIS 164 dan ikatan hidrofobik pada residu asam amino LEU 27, MET 49. Senyawa N2 dengan nilai energi ikatan -7,5 kkal/mol dan visualisasi hasil docking menunjukkan ikatan hidrogen pada residu asam amino PHE 140, CYS 145, HIS 164 dan ikatan hidrofobik pada residu asam amino MET 49, LEU 167, PRO 164. Senyawa N3 dengan nilai energi ikatan -7,4 kkal/mol dan visualisasi hasil docking menunjukkan ikatan hidrogen pada residu asam amino PHE 140, CYS 145, HIS 164 dan ikatan hidrofobik pada residu asam amino MET 49. Senyawa N4 dengan nilai energi ikatan -7,9 kkal/mol dan visualisasi hasil docking menunjukkan ikatan hidrogen pada residu asam amino PHE 140, GLY 143, CYS 145, HIS 164, GLU 166 dan ikatan hidrofobik pada residu asam amino MET 49, PRO 168. Senyawa N5 dengan nilai energi ikatan -7,8 kkal/mol dan visualisasi hasil docking menunjukkan ikatan hidrogen pada residu asam amino PHE 140, GLY 143, CYS 145, HIS 164, GLN 192 dan ikatan hidrofobik pada residu asam amino MET 49. Senyawa N6 dengan nilai energi ikatan -8,0 kkal/mol dan visualisasi hasil docking menunjukkan ikatan hidrogen pada residu asam amino PHE 140, GLY 143, CYS 145, HIS 164, GLN 192 dan ikatan hidrofobik pada residu asam amino MET 49.

Potensi Senyawa Flavonoid pada Pelepah Pisang (*Musa* sp.) pada Enzim COX-2 Assyifa Hanum Salsabila, Aulia Rahman, Syaiful Prayogi Email: assyifas63@gmail.com

Radang atau inflamasi merupakan salah satu dari sekian banyak penyakit yang diderita oleh masyarakat dan oleh reaksi antigen dari suatu penyakit yang dapat menimbulkan nyeri dan menghambat aktivitas. Pengembangan terapi perlu dilakukan dengan eksplorasi potensi bahan alam yang berkhasiat. Senyawa metabolit sekunder yang ada pada pelepah tanaman pisang (Musa sp.) memiliki aktivitas sebagai antiinflamasi dengan menghambat enzim siklooksigenase-2 (COX-2). Penelitian ini bertujuan untuk mengetahui senyawa dari pelepah tanaman pisang (Musa sp.) yang memiliki aktivitas sebagai antiinflamasi melalui molecular docking dan menganalisis bagaimana aktivitas antiinflamasi pada senyawa dari pelepah tanaman pisang (Musa sp.) terhadap enzim 3LN1. Penelitian ini merupakan penelitian kualitatif eksperimental dengan mengidentifikasi kompleks ligan-reseptor dan efek dari penyatuan ligan yang berasal dari senyawa tanaman dengan reseptor yang merupakan protein target dari penyakit inflamasi menggunakan metode molecular docking. Molecular docking dilakukan melalui beberapa tahap diantaranya pemodelan dan optimasi struktur senyawa, preparasi protein 3LN1, validasi docking, proses docking, dan visualisasi interaksi. Hasil penelitian menunjukan bahwa senyawa dari pelepah tanaman pisang kaempferol-3-O-rutinoside dan myricetin-3-O-rutinoside berpotensi sebagai antiinflamasi yang ditunjukan dengan MolDock Score berturut-turut (-113.246), (-160.77) dan berbagai ikatan berupa hidrofobik dan hidrogen. Kesimpulan: senyawa yang berpotensi sebagai kandidat obat baru antiinflamasi yang menghambat enzim sikloolsigenase-2 (COX-2) adalah myricetin-3-O-rutinoside.

A. Tanaman Pisang (*Musa* sp.)

Taksonomi dari pohon pisang:

Divisi : Magnoliophyta Kelas : Liliopsida Ordo : Zingiberales Famili : Musaceae

Genus : Musa
Spesies : Musa sp.



Gambar 2.2 Pohon Pisang (Musa sp.) Sumber: diunduh dari Wikipedia (Wikipedia, 2023)

Pisang merupakan pohon jenis terna (pohon dengan batang yang lunak dan tidak berkayu) dari suku Musaceae dengan batang yang kuat dan daun-daun yang besar memanjang berwarna hijau tua. Tanaman pisang termasuk tanaman monokotil yang mempunyai ikatan pembuluh (*floem dan xilem*) yang tersebar di jaringan batang (Wibowo & Prasetyaningrum, 2015). Batang pisang dibedakan menjadi dua macam yaitu batang asli yang disebut bonggol dan batang semu atau batang palsu. Bonggol berada dipangkal batang semu dan berada dibawah permukaan tanah, memiliki banyak mata tunas yang merupakan calon anakan dan tempat bertumbuhnya akar. Batang semu tersusun atas pelepah-pelepah daun yang saling menutupi, tumbuh tegak dan kokoh serta berada diatas permukaan tanah (Saparinto & Susiana, 2016).

Pisang mempunyai batang semu yang tersusun atas tumpukan pelepah daun yang tumbuh dari batang bawah tanah sehingga mencapai ketebalan 20-50 cm. Daun yang paling muda terbentuk dibagian tengah tanaman, keluarnya menggulung dan terus tumbuh memanjang, kemudian secara progresif membuka. Helaian daun bentuknya lanset memanjang, mudah koyak, panjang 1,5-3 m, lebar 30-70 cm, permukaan pisang mempunyai batang semu yang tersusun atas tumpukan pelepah daun yang tumbuh dari batang bawah tanah sehingga mencapai ketebalan 20-50 cm. (Wibowo & Prasetyaningrum, 2015).

Pelepah pisang adalah bagian dari batang mulai dari akar sampai ke pangkal daun pisang yang terdapat ditengah yang membesar dan mengumpul berselang - seling membentuk suatu struktur seperti batang. Batang pisang yang biasa kita lihat sebenarnya adalah batang semu yang terbentuk dari pelepah daun yang membesar di pangkalnya dan mengumpul membentuk struktur berselang - seling yang terlihat kompak sehingga tampak sebagai batang. Batang pisang yang sebenarnya terdapat di dalam tanah dan kadang-kadang muncul di permukaan tanah sebagai bentukkan seperti umbi (Masthura, 2018).

Dalam penelitian Sinung Adi Nugroho *et al.* (2020) menunjukkan bahwa zat aktif seperti flavonoid dan saponin terkandung dalam pelepah pisang. Penelitian Ananta (2020) juga menyebutkan ekstrak batang pohon pisang mengandung tannin, saponin, dan flavonoid. Berdasarkan dari penelitian lain yang telah dilakukan Dewi *et al.* (2021) menunjukan bahwa ekstrak batang pisang memiliki kemampuan sebagai antiinflamasi topical yang dimana memberikan hasil baik dalam penurunan inflamasi.

Flavonoid merupakan turunan dari senyawa phenol dari jalur asam malonil dan dari jalur asam shikimik. Asam hidrosinnamik merupakan salah satu turunan dari phenilalanin. Jalur asam shikimik akan dihasilkan phenilalanin yang merupakan senyawa intermediet atau senyawa antara yang akan membantu tanaman untuk menghasilkan flavonones, flavonoid, flavonol dan senyawa lain (Wibowo & Prasetyaningrum, 2015).

Flavonoid merupakan senyawa polifenol, yaitu satu golongan fenol alam yang terbesar dan bersifat polar sehingga mudah larut dalam pelarut polar seperti air, etanol, butanol, methanol, dan aseton. Flavonoid umumnya ditemukan dalam bentuk glikosida yang larut air. Flavonoid dari golongan flavonol, flavon, dan isoflavon memiliki aktivitas anti inflamasi (Ananta, 2020). Flavonoid sebagai antiinflamasi bekerja dengan cara memproduksi pro inflamatori mediator menstimulasi sel yang berkaitan dengan inflamasi seperti limfosit, monosit, natural killer sel, neutrophil, makrofaga, dan sel mastosit

(Sangeetha *et al.*, 2016). Hasil penelitian (Gupta *et al.*, 2022) menyebutkan bahwa terdapat 6 jenis senyawa flavonoid yang terkandung yaitu apigenin glycosides, myricetin-3-*O*-rutinoside, naringenin glycosides, kaempferol-3-*O*-rutinoside, dopamine dan N-acetyl serotonin.

Gambar 2.3 Struktur senyawa flavonoid pelepah pisang (Musa sp.) Sumber: Diunduh dari PubChem

N-acetyl serotonin

B. Hasil Docking

Dopamine

Docking (penambatan) berarti perlakuan satu molekul (ligan) disekitar molekul lainnya (protein) sehingga terjadi orientasi untuk terjadinya interaksi antara kedua

molekul. Perangkat lunak yang digunakan dalam penelitian ini adalah *molegro virtual* docker karena menghasilkan akurasi yang tinggi dibandingkan dengan perangkat lunak lain. Selain itu, algoritma MVD memungkinkan deteksi otomatis dari sisi aktif target molekul protein, sehingga lebih mudah dalam penggunaannya (Kusumaningrum et al., 2014)

Docking dilakukan dengan beberapa tahap yaitu mengunduh reseptor yang mengandung ligan standarnya; mendeteksi ligan terikat pada reseptor (cavities); menentukan koordinat atau grid box disesuaikan dengan hasil validasi karena koordinat tersebut merupakan tempat ligan alami berinteraksi dengan protein 3LN1; meletakkan struktur 3-D senyawa turunan ke dalam cavities yang terpilih dan selanjutnya dilakukan docking senyawa terhadap reseptor 3LN1. Kemudian ditentukan parameter: MolDock Score, Rerank Score, HBond dan nilai RMSD (Widiandani et al., 2013).

Docking (penambatan) dilakukan untuk mengetahui interaksi senyawa/ligan dengan protein target/reseptor. 6 senyawa flavonoid yang telah di-docking dengan protein 3LN1 ditemukan senyawa yang berpotensi sebagai antiinflamasi adalah senyawa Kaempferol-3-O-rutinoside, Myricetin-3-O-rutinoside, dan Dopamine. Hasil yang diperoleh dari docking senyawa uji dengan protein 3LN1 yaitu berupa energi ikatan, RMSD, dan profil ikatan ligan-protein. Hasil penambatan ligan uji senyawa flavonoid dengan reseptor 3LN1 dapat dilihat pada tabel berikut:

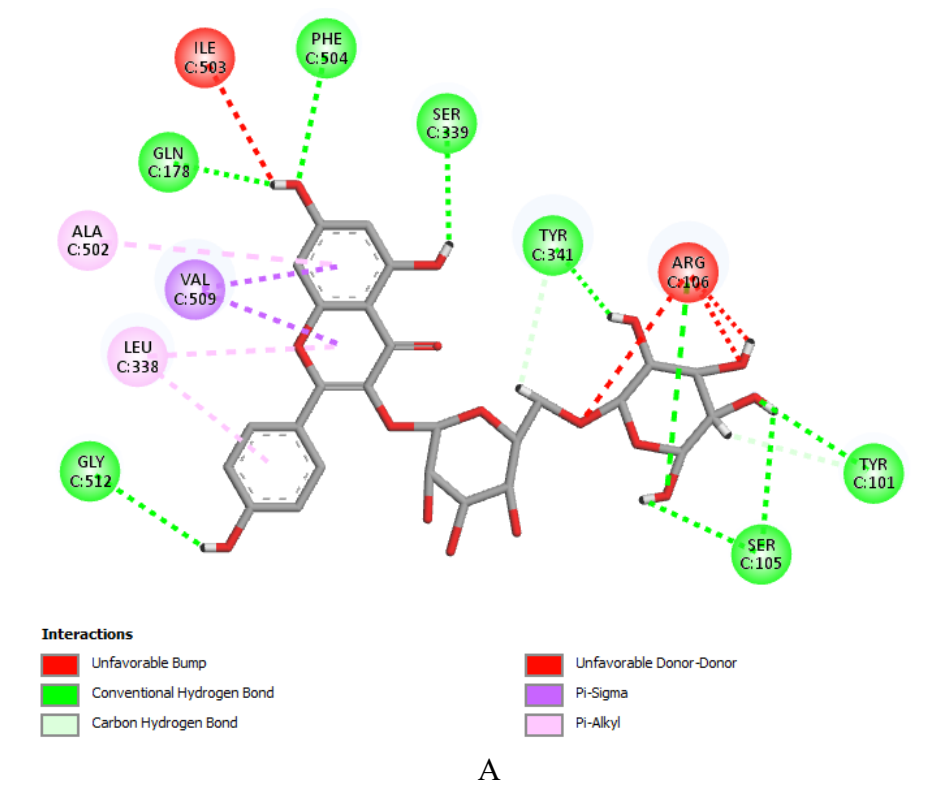
Tabel 4.1 Interaksi ligan uji dengan protein 3LN1

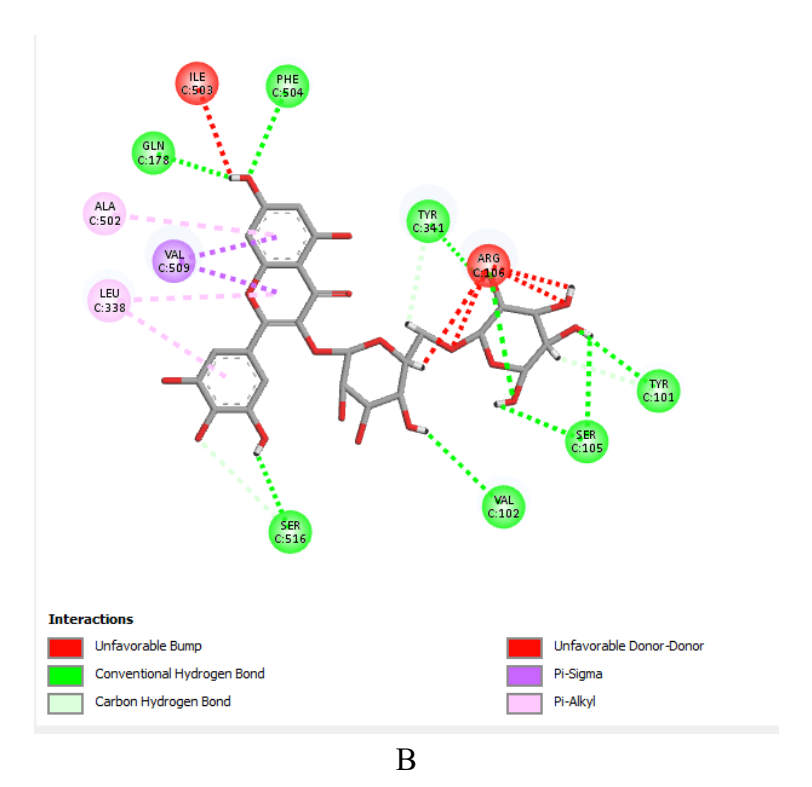
No	Senyawa Uji	MolDock	Rerank	Ikatan	Interaksi
		Score	Score	Hidrogen	lainnya
		(Kkal/mol)	(Kkal/mol)		
1	Kaempferol-	-113.246	-96.6843	PHE 504,	VAL 509,
	3- <i>O</i> -			GLN 178,	ALA 502,
	rutinoside			SER 339,	LEU 338,
				TYR 341,	ARG 106,
				GLY 512,	ILE 543
				SER 105,	
				TYR 101	
2	Myricetin-3-	-160.77	-108.065	PHE 504,	ALA 502,
	O-rutinoside			GLN 178,	VAL 509,
				TYR 341,	LEU 338,
				TYR 101,	ARG106,
				SER 105,	ILE 503
				VAL 102,	
				SER 516	

Tabel 4.3 menyajikan hasil docking antara ligan (senyawa uji) dengan protein *siklooksigenase-2* (COX-2) yaitu 3LN1, diketahui bahwa senyawa uji dapat berinteraksi dengan sisi aktif dari protein target. Senyawa terbaik ditandai dengan energi ikatan (*rerank score*) yang rendah. Senyawa dan energi ikatan berturut-turut sebagai berikut: myricetin-3-*O*-rutinoside (-108,065 Kkal/mol) dan kaempferol-3-*O*-rutinoside (-96,6843 Kkal/mol). Hasil energi ikatan ketiga senyawa tersebut tergolong paling rendah dibandingkan dengan senyawa lain yang mengindikasikan bahwa ketiga senyawa tersebut merupakan senyawa

yang berpotensi sebagai kandidat obat apabila berikatan dengan protein target. Energi ikatan merupakan ukuran kemampuan obat untuk berikatan dengan reseptor (protein). Semakin kecil nilai energi ikatan maka afinitas antara reseptor dengan ligan semakin tinggi dan sebaliknya jika semakin besar nilai energi ikatan maka afinitas antara reseptor semakin rendah (Saputri *et al.*, 2016). Energi ikatan menunjukan besarnya afinitas antara senyawa uji dengan reseptor target. Semakin rendah nilai energi ikatan menunjukan ikatan antara protein dan ligan yang dihasilkan semakin stabil pula.

Visualisasi hasil *docking* interaksi ikatan struktur 2D dan 3D dilakukan dengan memanfaatkan *software Discovery Studio*. Berikut adalah hasil visualisasi hasil *docking* dari ligan yang memiliki energi ikatan rendah yaitu kaempferol -3-*O*-rutinoside dan myricetin-3-*O*-rutinoside.





Gambar 4.1 Interaksi senyawa uji dengan protein 3LN1 Interaksi senyawa kaempferol-3-o-rutinoside dengan asam amino (A), Interaksi senyawa myricetin-3-o-rutinoside dengan asam amino (B),

Visualisasi *docking* antara makromolekul *siklooksigenase-2* (3LN1) dengan ligan kaempferol-3-*o*-rutinoside menunjukan berbagai ikatan yang terbentuk, diantaranya yang mendominasi adalah ikatan hidrofobik seperti yang terlihat pada residu asam amino C:VAL 509, C:ALA 502, C:LEU 338, C:ARG 106, C:ILE 543. Selain itu terdapat ikatan hidrogen pada residu asam amino C:PHE 504, C:GLN 178, C:SER 339, C:TYR 341, C:GLY 512, C:SER 105, C: TYR 101. Ikatan hidrogen pada residu asam amino C:GLN 178 yakni antara atom H pada gugus OH (donor) dengan asam amino pada atom O pada gugus C=O (acceptor). Ikatan hydrogen pada residu asam amino C:PHE 504 yakni antara atom H pada gugus OH (donor) dengan asam amino pada atom O pada gugus C=O (acceptor). Ikatan hydrogen pada residu asam amino C:TYR 341 yakni antara atom H pada gugus OH (donor) dengan asam amino pada atom O pada gugus C=O (acceptor). Hal tersebut menandakan adanya interaksi antara ligan kaempferol-3-*o*-rutinoside dengan sisi aktif makromolekul 3LN1.

Visualisasi *docking* antara makromolekul *siklooksigenase-2* (3LN1) dengan ligan myricetin-3-*O*-rutinoside menunjukan berbagai ikatan energi yang terbentuk, diantaranya yang mendominasi adalah ikatan hidrofobik seperti yang terlihat pada residu asam amino C:ALA 502, C:VAL 509, C:LEU 338, C:ARG106, C: ILE 503. Selain itu terdapat ikatan hidrogen bond pada residu asam amino C:PHE 504, C: GLN 178, C:TYR 341, C:TYR 101, C:SER 105, C:VAL 102, C:SER 516. Ikatan hydrogen pada residu asam amino C:GLN 178 yakni antara atom H pada gugus OH (donor) dengan asam amino C:PHE 504 yakni antara atom H pada gugus OH (donor) dengan asam amino C:PHE 504 yakni antara atom H pada gugus OH (donor) dengan asam amino D pada gugus C=O

(acceptor). Ikatan hydrogen pada residu asam amino C:TYR 341 yakni antara atom H pada gugus OH (donor) dengan asam amino pada atom O pada gugus C=O (acceptor). Dilihat dari besar energi ikatan dan jenis ikatan yang terbentuk, senyawa myricetin-3-*O*-rutinoside diduga paling berpotensi sebagai kandidat obat antiinflamasi dibandingkan dengan dua senyawa lainnya.

Berdasarkan hasil visualisasi docking antara protein target 3LN1 dengan ketiga senyawa uji menunjukan berbagai ikatan yang terbentuk, diantaranya yang mendominasi residu asam amino adalah ikatan hidrofobik yang terlihat pada setiap hasil visualisasi yang menandakan adanya aktifitas hidrofobik. Ikatan hidrofobik merupakan kontributor utama stabilitas ikatan. Ikatan hidrogen juga mendukung stabilitas protein, tetapi pada tingkat yang lebih rendah daripada ikatan hidrofobik. Ikatan hidrofobik membentuk molekul nonpolar yang tidak larut dalam air dan ikatan yang penting pada proses penyatuan daerah nonpolar molekul ligan dengan daerah nonpolar reseptor target (Hariz, 2019).

Selain itu, peran ikatan hidrogen sangat sering diamati antara ligan dan reseptor. Pasangan pembawa proton (yang disebut donor ikatan hidrogen) dalam sistem biologis (protein/reseptor) biasanya adalah gugus NH3 atau OH. Ikatan tersebut mencapai kekuatan yang besar karena atom hidrogen dari kelompok donor terikat pada atom yang sangat elektronegatif, dimana kerapatan electron atom hidrogen bergeser ke atom tetangga. Ikatan hidrogen pada senyawa uji tergolong kategori ikatan yang relatif paling kuat dibandingkan ikatan antamolekul lainnya. Ikatan hidrogen terjadi antara atom hidrogen yang sangat elektronegatif (O, F, N) dari molekul lain.

Melalui mekanisme pengikatan hidrogen dan hidrofobik menyebabkan perubahan aktivitas biologis dan memberikan efek farmakologi tertentu atau dengan kata lain senyawa tersebut menghambat antiinflamasi apabila berikatan dengan reseptor *siklooksigenase-2* (COX-2) yaitu 3LN1 (Sukmawaty *et al.*, 2022).

Potensi Senyawa Golongan Flavonoid dari Tanaman Temu Kunci (*Boesenbergia pandurata*) terhadap Estrogen Reseptor Alpha: Melalui Molekuler Docking Kharisma Arsyifatin Nadiyah, Syaiful Prayogi

Kanker payudara merupakan salah satu penyakit kesehatan dunia dengan penyebab utama kematian. Protein ER-α merupakan reseptor inti yang berperan dalam mengatur perkembangan dan fungsi reproduksi wanita, atau disebut juga sebagai peluang agen kemoterapi. Salah satu tanaman tradisional yang paling potensial untuk pengobatan adalah Temu Kunci (Boesenbergia pandurata). Tanaman temu kunci salah satu penggolongan obat yang secara spesifik digunakan untuk mengobati kanker. Tanaman temu kunci (Boesenbergia pandurata) mengandung berbagai metabolit sekunder salah satunya adalah flavonoid. Senyawa golongan flavonoid pada beberapa penelitian memiliki bioaktivitas sebagai antikanker. Penelitian ini bertujuan untuk mengetahui senyawa golongan flavonoid dari temu kunci yang memiliki aktivitas sebagai antikanker payudara melalui molecular docking, serta menganalisis bagaimana aktivitas antikanker payudara pada senyawa golongan flavonoid dari temu kunci terhadap protein ERα. Penelitian ini merupakan penelitian kualitatif eksploratif dengan mengidentifikasi kompleksasi dan efek dari penyatuan ligan yang berasal dari senyawa tanaman dengan protein target dari penyakit kanker payudara menggunakan metode molecular docking secara in silico.optimasi struktur senyawa, preparasi protein ER-α, validasi docking, proses docking, dan visualisasi interaksi. Terdapat 54 senyawa golongan flavonoid temu kunci (Boesenbergia pandurata) yang dilakukan penelitian. Hasil penelitian menunjukkan bahwa senyawa golongan flavonoid dari temu kunci yaitu (-)-isopanduratin A2, 5-hydroxy-3,7-dimethoxyflavone, (+)-4hydroxypanduratin A, rubranine dan panduratin G berpotensi sebagai antikanker payudara yang ditunjukkan nilai energi ikatan yaitu -142.113, -140.535, -139.949, -139.918, -137.929 dan ikatan yang terbentuk berupa hidrofobik dan hidrogen.

A. Tanaman Temu Kunci (Boesenbergia pandurata)



Gambar 2.2 Tanaman Temu Kunci (*Boesenbergia pandurata*) Sumber: diunduh dari Wikipedia (Wikipedia, 2023)

Tanaman temu kunci adalah tanaman herbal yang hidupnya tahunan atau perennial. Tinggi tanaman temu kunci bisa mencapai 30-80 cm. Bentuk daun tegak, banyaknya daun ada 3-7 helai. Pelepah daunnya berwarna kemerahan dan berada diantara bagian basalnya. Bagian lainnya yaitu akar, berada didalam tanah yang diameter akar bisa mencapai 2 cm. Warna akar adalah kuning kecoklatan pada bagian luar dan bagian dalamnya warna kuning menyala. Umbi yang bentuknya bulat kecil berada dibawah tanah atau rimpang bawah pohon dengan lebar 1,5-2 cm pada beberapa umbi ramping dan panjang semuanya bisa tumbuh ke arah yang sama atau dapat menyerupai jari-jari tangan *(fingerroot)*. Umbinya sendiri berdiameter 1-1,5 cm dan panjang umbi temu kunci adalah 5-10 cm. Jika

dibandingkan dengan rimpang pusat, jaringan umbinya lebih panjang, ramping dan lapang. Jaringan tersebut tergantung dari warna rimpang dan dari kelompok temu kunci itu sendiri. Kelompok warna temu kunci dapat memberikan hasil rimpang dengan warna rimpang kuning cerah. Temu kunci memiliki bau khas aromatik dan bunga berwarna merah tua serta dapat mekar di sepanjang tahun pada negara tropis (Setiwaty dan Rini, 2021).

Menurut (Atun dan Handayani, 2017) menjelaskan klasifikasi dari tanaman temu kunci beserta nama ilmiah *Boesenbergia pandurata* sebagai berikut:

Kingdom : Plantae

Divisi : Magnoliophyta

Kelas : Liliopsidae

Ordo : Zingiberales

Famili : Zingiberaceae

Genus : Boesenbergia

Spesies : Boesenbergia Pandurata Roxb

Nama Ilmiah : Boesenbergia pandurata

1. Manfaat Kandungan Temu Kunci (Boesenbergia pandurata)

Temu kunci memiliki banyak sekali manfaat terutama didunia tanaman herbal. Salah satu manfaat dari temu kunci, yaitu untuk pengobatan beberapa penyakit seperti antivirus dan antiradang. Temu kunci biasa hidup di negara-negara yang memiliki iklim tropis. Untuk bentuk nyata temu kunci sedikit berbeda dari temu-temuan lainnya. Bisa dibilang berbeda karena dapat dilihat dari rimpangnya yang bisa tumbuh dibawah tanah. Tumbuhnya temu kunci ini mendatar dan beruas-ruas, sedikit keras, bersisik tipis, dan memiliki bau yang harum. Anakkan dari rimpang temu kunci tumbuh mengelompok kecil-kecil disebelah rimpang induknya (Nasution *et al.*, 2021).

Untuk masyarakat Indonesia temu kunci biasanya dimanfaatkan sebagai bumbu dapur, sayuran, dan obat herbal. Obat herbal yang bisa mengobati penyakit kulit, penyakit yang berikatan dengan ISPA, sinusitis, asma, peluruh dahak, sakit mata, dan rematik (Atun dan Handayani, 2017). Setengah dari badan temu kunci yang biasa digunakan manfaatnya adalah pada bagian daun dan rhizomanya. Bagi masyarakat temu kunci dapat diolah menjadi obat tradisional. Contoh obat tradisionalnya yaitu obat aphrodisiak untuk mencegah adanya gangguan kolik dan mencegah kanker (Silalahi, 2017). Rimpang temu kunci juga mengandung minyak atsiri dan beberapa macam senyawa flavonoid yang perannya sangat besar didunia farmasi, bisa sebagai antiinflamasi, antijamur, antibakteri dan antioksidan. Kandungan lebih lainnya yang ditemukan pada temu kunci yaitu adanya senyawa panduratin, termasuk golongan senyawa flavonoid. Panduratin dipercaya memiliki aktivitas biologi didalam tubuh, khususnya memiliki kemampuan kuat sebagai antikanker (Nasution *et al.*, 2021).

2. Kandungan Kimia Temu Kunci (Boesenbergia pandurata)

Temu kunci merupakan salah satu anggota keluarga yang berasal dari Zingiberaceae dan memiliki warna rimpang kuning cerah. Temu kunci memiliki berbagai macam aktivitas seperti antiinflamasi, antijamur, antikbakteri dan antioksidan. Temu kunci juga memiliki kandungan minyak atsiri, dimana didalam minyak atsiri terdapat senyawa 1,8-sineol, kamferborneol, pinnen, sesquiterpen, zingiberan, curcumin, dan zeodarin. Kandungan lain yang ditemukan pada temu kunci terdapat kardamonin. pinosembrin (5,7-dihidroksiflavon), pinostrobin (5-hidroksi-7metoksiflavanon), panduratin A dan 4-hidroksipanduratin. Tanaman temu lainnya yang mempunyai kesamaan kandungan dengan temu kunci adalah kuncipepet (Kaempferia Rotunda). Kuncipepet juga mengandung lebih banyak minyak atsiri dan baunya yang khas. Minyak atsiri pada temu kunci sifatnya sebagai antibakteri. Selain itu juga, beberapa aktivitas lain temu kunci sebagai antiinflamasi, analgetik, antipiretik, antikanker, antitumor, anti HIV dan antioksidan.

Pada penelitian lain juga mengungkapkan bahwa temu kunci mengandung banyak senyawa flavonoid seperti alpinetin, boesenbergia, cardamonin, geraniol, krachaizin, panduratin A, 4-hidroksipanduratin A, pinostrobin, pinocembrin, rotundaflavone, dan silybin. Minyak atsiri didalam temu kunci mengandung nerol, kapur barus, cineole, fenchene, hemanthidine, dan limonene. Polifenol temu kunci terdapat asam caffeic, asam coumaric, asam chlorogenic, hesperidin, kaempferol, naringin dan quercetin (Bello et al., 2018). Dari data yang sudah tersedia senyawa-senyawa tersebut menunjukkan adanya aktivitas antioksidan, antibakteri, antifungi, anti-inflamasi, antikanker, dan anti tuberculosis (Handayani et al., 2018). Senyawa kalkon termasuk dalam keluarga senyawa flavonoid. Senyawa kalkon adalah produk biosintetik dari metabolisme shikimate. Senyawa kalkon sudah dipelajari secara ekstensif dan terbukti memiliki berbagai efek antara lain antimalaria, antikanker, antioksidan, antimikroba, antituberkulosis, dan analgesik (Oktaviani et al., 2019). Menurut penelitian sebelumnya, kandungan utama temu kunci sebagian besar minyak atsiri dan beberapa senyawa golongan flavonoid. Struktur sederhana flavonoid pada temu kunci terdapat pinostrobin dan pinocembrin. Beberapa subtituen dalam struktur utama gugus prenyl, dan beberapa turunan kalkon (panduratin) (Widayat et al., 2015). Senyawa kalkon adalah senyawa kandidat kuat sebagai senyawa yang sangat potensial untuk digunakan sebagai obat antikanker. Senyawa turunan kalkon merupakan salah satu senyawa yang berpotensi sebagai sensor. Senyawa kalkon juga senyawa yang sangat menarik karena banyak digunakan untuk berbagai fungsi biologis. Senyawa turunan kalkon dapat digunakan sebagai sensor kimia sebab strukturnya dapat dimodifikasi dengan menambahkan berbagai gugus substituen untuk berinteraksi dengan anion membentuk ikatan hidrogen. Adapun beberapa jenis senyawa kalkon lainnya pada temu kunci seperti (2, 2-dihidroksi-4-metoksikalkon, kardamonin, panduratin A, boesenbergin A, boesenbergin B dan rubranin) (Atun dan Handayani, 2017). Pendekatan komputasi dimana docking molekul senyawa kalkon-kumarin hidbrida sebagai antikanker dan diduga aktivitas antikanker senyawa kalkon tersebut disebabkan oleh adanya hambatan ganda dari alfa dan beta tubulin (Oktaviani et al., 2019).

3. Flavonoid

Pengertian dari metabolit sekunder yaitu senyawa yang memiliki berat molekul rendah diproduksi oleh tanaman. Guna keberadaan metabolit sekunder untuk tumbuhan memang belum ada yang dipahami, akan tetapi keberadaannya dipercaya sebagai pelindung dari datangnya ancaman baik lingkungan, patogen maupun non patogen. Yang perlu diketahui adalah kandungan senyawa aktif pada temu kunci terdiri dari terpenoid (mono dan sesquiterpen) dan flavonoid (Silalahi, 2017).

Flavonoid menjadi salah satu senyawa metabolit sekunder yang ada pada tumbuhan tanaman. Senyawa flavonoid turunan dari senyawa polifenol yang berasal dari metabolit sekunder juga. Senyawa falvonoid atau senyawa polifenol memiliki gugus hidroksil, dimana terdapat 15 atom karbon yang tersusun konfigurasi C6-C3-C6. Maksudnya adalah senyawa flavonoid mengandung dua gugus C6 atau cincin benzena yang tersubstitusi dan dapat digabungkan dengan rantai alifatik 3 karbon. Flavonoid memiliki kontribusi yang baik pada tumbuhan. Terutama bagian pigmen. Senyawa flavonoid yang terdapat di bagian pigmen tumbuhan dapat menghasilkan warna kuning, merah, orange, biru, dan ungu. Warna-warna tersebut asalnya bisa dari buah, bunga, dan daun tumbuhan. Flavonoid termasuk kedalam kategori golongan famili polifenol atau bisa larut dalam air. Bioaktif yang terkandung pada flavonoid memiliki peran penting pada makanan dan manfaatnya bisa sangat menguntungkan bagi manusia (Arifin dan Ibrahim, 2018). Senyawa flavonoid pada temu kunci memiliki metabolit sekunder besar baik yang sudah diisolasi maupun sudah dikonfirmasi strukturnya. Senyawa flavonoid utama temu kunci adalah kalkon, flavanon, dan flavon. Sebagian besar dari senyawa tersebut memiliki struktur unik dari beberapa substituen prenyl yang terintegrasi dalam kerangka utamanya. Pada Gambar 2.3 menunjukkan adanya struktur senyawa nada tanaman temu kunci yang tergolong dalam senyawa flayonoid

sen	senyawa pada tanaman temu kunci yang tergolong dalam senyawa navonoid							
No	Struktur Senyawa	Nama Senyawa						
1.	HO OMe OMe	Cardamonin						

Helichrysetin

4.

2',6'-dihydroxy-4'methoxychalcone

5.

Flavokawain

6.

2',4',6'trihydroxychalcone

Uvangoletin

8.

Pinostrobin

9.

Pinocembrin

10.

5,7-dimethoxyflavanone

Alpinetin

Sakuranetin

7,4'-dihydroxy-5-methoxyflavanone 13. ,OH HO,

Tectochrysin

14. MeO.

OMe

16. MeO O

5-hydroxy-3,7-dimethoxyflavone

5,7,4'-trimethoxyflavone

5-hydroxy-7,4'dimethoxyflavone

5,7,3',4'tetramethoxyflavone

20.

5-hydroxy-3,7,4'trimethoxyflavone

21.

5-hydroxy-3,7,3',4'tetramethoxyflavone

22.

Boesenbergin A

Boesenbergin B

24. (+)-panduratin A

25. Rubranine

26. (-)-isopanduratin A2

28.

30.

(+)-4-hydroxypanduratin

(±)-panduratin C

2',4'-dihydroxy-3'-(1"-geranyl)-

6'-methoxychalcone

(1'R,2'S,6'S)-2hydroxyisopanduratin A

32.

(\pm)-6-methoxypanduratin A

33.

(-)-nicolaioidesin B

34.

(-)-panduratin A

36. (+)-isopanduratin A

37. (-)-isopanduratin A

38. (+)-krachaizin A

MeO OH OH

(+)-krachaizin B

(-)-krachaizin A

41.

(+)-krachaizin B

42. Panduratin D

43. Panduratin E

44. Panduratin F

Panduratin G

46.

Panduratin B1 Panduratin B2

47.

(2R)-8-geranylpinostrobin

48.

(2S)-6-geranylpinostrobin

49.

(2S)-7,8-dihydro-5hydroxy-2-methyl-2-(4"methyl-3"-pentenyl)-8phenyl-2H,6H-benzo [1,2b:5,4-b'] dipyran-6-one

51.

52.

Rotundaflavone IIa Rotundaflavone IIb

HO OH O

53.

5,7-dihydroxy-8-geranylflavanone

Rotundflavone Ia Rotundaflavone IIb

B. Data Aktivitas

Sebelumnya definisi dari asam amino adalah unit dasar struktur suatu protein (Ino et al., 2017). Tiap asam amino tersusun atas suatu atom karbon yang dapat mengikat atom hydrogen, gugus amino, dan gugus karboksilat. Salah satu rantai samping (gugus R) yang berbeda pada 20 asam amino dan struktur gugus R dapat ditentukan melalui identitas asam amino maupun sifat-sifat khasnya. Gugus R juga tergantung pada gugus fungsionalnya seperti aligatis, aromatis, asam, basa, hidrosiklik, sulfur atau amidik (Wahyudiati et al., 2017). Jumlah asam amino biasanya lebih dari seratus yang saling berikatan melalui ikatan peptida dan membentuk ikatan polipeptida. Berdasarkan kebutuhan tubuh, tebagi menjadi dua golongan yaitu asam amino essensial dan asam amino non essensial. Asam amino essensial yaitu asam amino yang diperoleh melalui makanan karena tubuh tidak dapat memproduksi asam amino tersebut seperti arginin (ARG), histidin (HIS), isoleusin (Ile), leusin (LEU), lisin (LYS), metionin (MET), phenilalanin (PHE), treonin (THR), triptofan (TRP), dan valin (VAL), sedangkan asam amino non essensial kebalikannya dari essensial yaitu asam amino yang diperoleh dari dalam tubuh contohnya yaitu alanin (ALA), prolin (PRO), glisin (GLY), serin (SER), sistein (CYS), tirosin (TYR), asparagin (ASN), glutamin (GLU), asam aspartate (ASP), dan asam glutamate (GLU) (Ino et al., 2017). Titik koordinat atau grid box yang diterapkan disesuaikan dengan hasil validasi pada table 4.3, karena titik koordinat tersebut merupakan tempat ligan alami berinteraksi dengan protein ER-α.

Tabel 4.3 hasil docking dan interaksi ligan uji dengan protein ER-α

Senyawa/ ligan	Rerank	Tipe Ikatan	
	score	Ikatan hidrogen	Ikatan hidrofobik
(-)-isopanduratin A2	-142.113	PHE 404	GLU 353
		LEU 346	MET 388
		ARG 394	PHE 404
			MET 343
			LEU 346
			LEU 525
			ALA 350
			LEU 354
			LEU 346
			LEU 428
			LEU 349
			LEU 387
			LEU 391

			TRP 383
5-hydroxy-3,7-	-140.535	LEU 387	THR 347
dimethoxyflavone		LEU 346	PHE 404
,		ARG 394	LEU 346
			LEU 384
			MET 388
			MET 421
			ILE 424
			LEU 391
			ALA 350
			LEU 525
(+)-4-hydroxypanduratin	-139.949	PHE 404	MET 388
A		LEU 346	PHE 404
		ARG 394	MET 343
		LEU 387	LEU 346
			LEU 525
			ALA 350
			LEU 387
			LEU 391
			LEU 428
			LEU 349
			TRP 383
Rubranine	-139.918	LEU 346	MET 388
		PHE 404	PHE 404
			MET 343
			LEU 525
			ALA 350
			LEU 391
			LEU 346
			LEU 387
			TRP 383
Panduratin G	-137.929	LEU 346	GLU 353
		ARG 394	MET 388
		MET 388	PHE 404
			MET 421
			ILE 424
			LEU 346
			ALA 350
			LEU 525
			LEU 387
			LEU 391
			LEU 428
			HIS 524

Penambatan molekul senyawa (ligan) ke reseptor (protein target) dilakukan dengan menggunakan perangkat lunak *Docking Wizard* yang dapat diakses melalui perangkat lunak *Molegro*. Perangkat lunak ini dapat melakukan proses *docking* dengan jumlah lebih dari satu sekaligus dan meminimalkan ukuran senyawa sehingga *docking* dapat dilakukan dengan cepat.

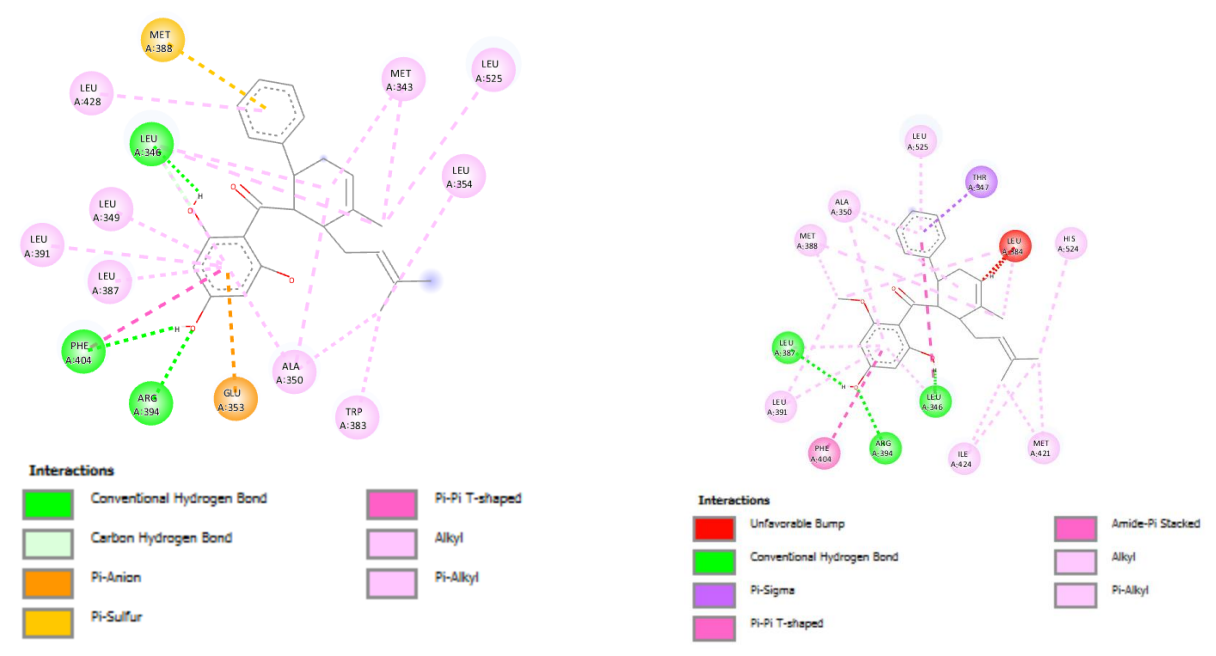
Penambatan molekul menggunakan perangkat lunak *Docking Wizard* akan menghasilkan skor karena adanya interaksi antara molekul senyawa dengan protein target. Selain proses *docking* menggunakan *Docking Wizard*, ligan ditambahkan terlebih dahulu kemudian diperlukan *Detect Cavities* untuk mendeteksi tempat ikatan protein sebagai potensi daerah pada sisi aktif yang berikatan dengan ligan. Penyaringan bentuk ligan yang paling stabil dikombinasikan dengan MM2 sehingga dapat menghasilkan konformasi ligan

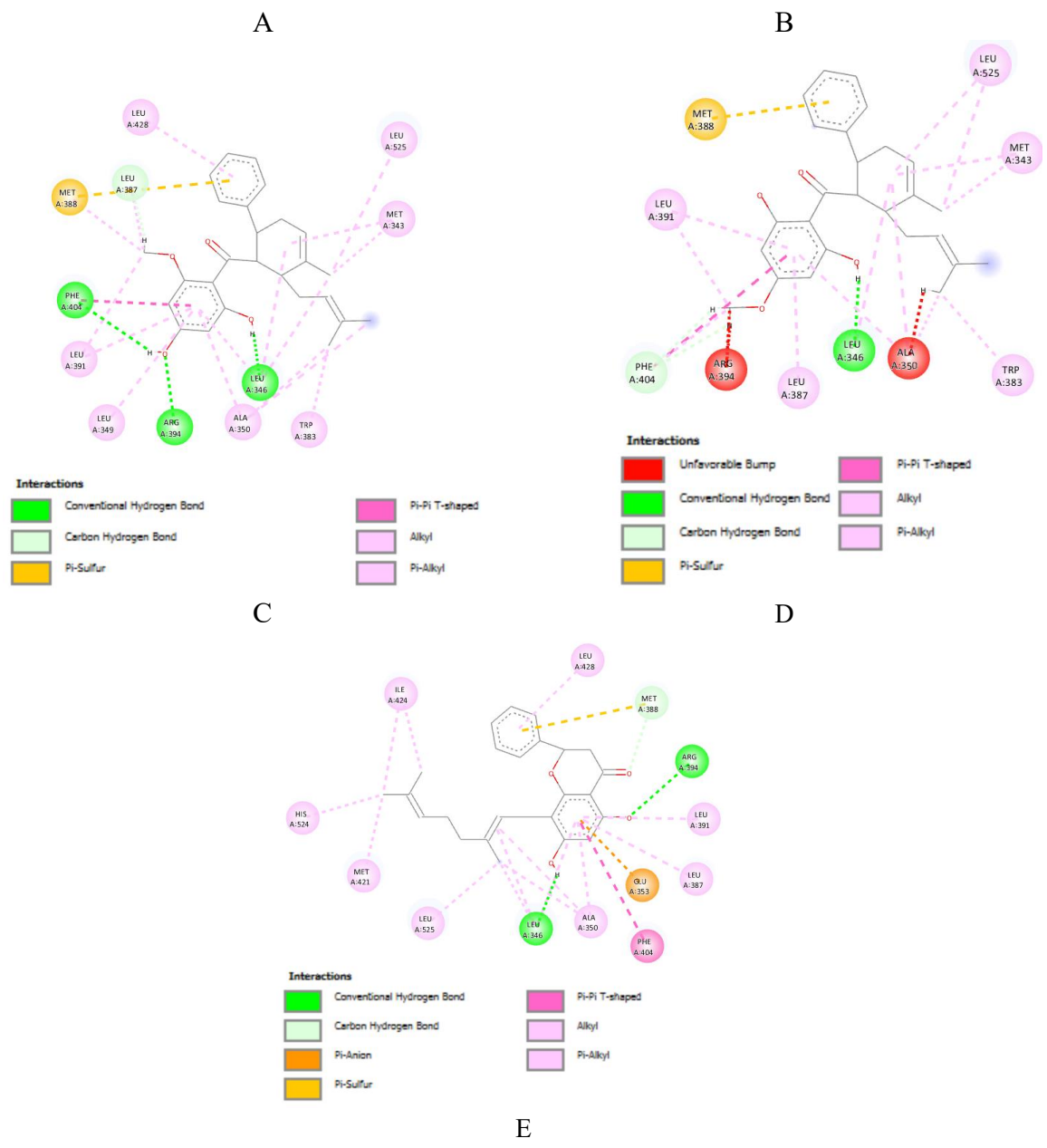
pose yang konsisten dari bentuk sisi aktif protein. Calon pose mempunyai energi minimal dalam sisi aktif yang digunakan metode berbasis grid untuk mengevaluasi interaksi energi protein-ligan dan disimpan dalam bentuk Mol. *Docking* dilakukan dengan standar pengaturan standar non ligan pada *Molegro Virtual Docker* dipilih *cavity* 1 (volume 171.008) untuk protein ER-α dengan grid sesuai dengan pada proses validasi (*re-docking*), parameter iterasi maksimal 1500 dan ukuran populasi maksimal 50 dalam *pose generation* energi 100.00 (Ayik Rosita Puspaningtyas, 2013).

Senyawa (-)-isopanduratin A2, 5-hydroxy-3,7-dimethoxyflavone, (+)-4-hydroxypanduratin A, Rubranine, Panduratin G merupakan 6 dari 54 senyawa flavonoid yang diperkirakan berpotensi sebagai obat antikanker payudara. Nilai *re-rank score* dan profil ikatan ligan-protein hasil penambatan ligan uji senyawa golongan flavonoid pada temu kunci dengan protein ER-α dapat dilihat pada table 4.3.

Berdasarkan data hasil *docking* pada tabel 4.3 antara ligan senyawa golongan flavonoid pada temu kunci dengan protein ER-α, diketahui bahwa senyawa golongan flavonoid pada temu kunci dapat berinteraksi dengan sisi aktif dari protein target. Nilai *rerank* score pada (-)-isopanduratin A2 merupakan yang terkecil dibandingkan 4 senyawa lainnya yakni sebesar -142.113 kcal/mol. Hasil *re-rank* score 5 senyawa tersebut tergolong energi ikatan paling rendah jika dibandingkan dengan senyawa lain yang dapat diindikasi bahwa kelima senyawa tersebut merupakan senyawa yang diduga mempunyai potensi sebagai kandidat obat apabila berikatan dengan protein target. Nilai RS (*Rerank* score) adalah nilai suatu energi ikatan yang diperlukan untuk membuat ikatan antara ligan dengan reseptornya. Dari nilai RS dapat diprediksi aktivitas suatu ligan/senyawa apabila nilai RS suatu ligan memiliki nilai yang paling rendah atau terendah maka akan semakin stabil sebaliknya jika nilai RS ligan uji lain memiliki nilai RS paling rendah maka memiliki aktivitas ligan semakin tinggi (Elsiana et al., 2023).

Visualisasi hasil *docking* interaksi ikatan struktur 3D dan 2D dilakukan dengan menggunakan *software Biovia Discovery Studio*. Berikut visualisasi hasil *docking* dari ligan dengan nilai RS terendah.





Gambar 4.4 Interaksi senyawa uji dengan protein ER-α

Interaksi senyawa (-)-isopanduratin A2 dengan asam amino (A), interaksi senyawa 5-hydroxy-3,7-dimethoxyflavone dengan asam amino (B), interaksi senyawa (+)-4-hydroxypanduratin A dengan asam amino (C), interaksi senyawa rubranine dengan asam amino (E)

Visualisasi *docking* antara makromolekul ER-α dengan ligan (-)-isopanduratin A2 menunjukkan hasil bahwa hanya terdapat ikatan hydrogen bond pada residu asam amino PHE 404, LEU 346 dan ARG 394. Ikatan hydrogen pada residu asam amino PHE 404 yakni terdapat pada atom H pada gugus OH (donor) dengan asam amino pada atom O pada gugus H=O *(acceptor)*. Ikatan hydrogen pada residu asam amino LEU 346 yakni terdapat pada atom H pada gugus OH (donor) dengan asam amino pada atom O pada gugus H=O *(acceptor)*. Ikatan hydrogen pada residu asam amino ARG 394 yakni terdapat pada atom H pada gugus OH (donor) dengan asam amino pada atom O pada gugus H=O *(acceptor)*. Hal tersebut menandakan adanya interaksi antara ligan (-)-isopanduratin A2 dengan sisi aktif makromolekul ER-α. Selain itu juga, terdapat ikatan hidrofobik yaitu pada residu

asam amino PHE 404, MET 343, LEU 346, LEU 525, ALA 350, LEU 354, LEU 428, LEU 349, LEU 387, LEU 391 dan TRP 383 yang menunjukkan bahwa terdapat aktifitas hidrofobik.

Visualisasi *docking* antara makromolekul ER-α dengan ligan 5-hydroxy-3,7-dimethoxyflavone menunjukkan hasil bahwa terdapat ikatan hidrofobik pada residu asam amino THR 347, PHE 404, LEU 346, LEU 384, MET 388, MET 421, ILE 424, LEU 391, ALA 350, LEU 387, LEU 525, dan HIS 524 yang menunjukkan bahwa terdapat aktifitas hidrofobik. Selain itu juga, terdapat ikatan hydrogen yaitu pada residu asam amino LEU 387, LEU 346, dan ARG 394. Ikatan hydrogen pada residu asam amino LEU 387 yakni terdapat pada atom H pada gugus OH (donor) dengan asam amino pada atom O pada gugus H=O *(acceptor)*. Ikatan hydrogen pada residu asam amino pada atom O pada gugus H=O *(acceptor)*. Ikatan hydrogen pada residu asam amino ARG 394 yakni terdapat pada atom H pada gugus OH (donor) dengan asam amino ARG 394 yakni terdapat pada atom H pada gugus OH (donor) dengan asam amino pada atom O pada gugus H=O *(acceptor)*. Hal tersebut menandakan adanya interaksi antara ligan 5-hydroxy-3,7-dimethoxyflavone dengan sisi aktif makromolekul ER-α.

Visualisasi docking antara makromolekul ER-α dengan ligan hydroxypanduratin A menunjukkan hasil bahwa terdapat ikatan hidrofobik pada residu asam amino PHE 404, MET 343, LEU 346, LEU 525, ALA 350, LEU 387, MET 388, LEU 391, LEU 428, LEU 349, dan TRP 383 yang menunjukkan bahwa terdapat aktifitas hidrofobik. Selain itu, terdapat ikatan hydrogen yaitu pada residu asam amino PHE 404, LEU 346, dan ARG 394. Ikatan hydrogen pada residu asam amino PHE 404 yakni terdapat pada atom H pada gugus OH (donor) dengan asam amino pada atom O pada gugus H=O (acceptor). Ikatan hydrogen pada residu asam amino LEU 346 yakni terdapat pada atom H pada gugus OH (donor) dengan asam amino pada atom O pada gugus H=O (acceptor). Ikatan hydrogen pada residu asam amino ARG 394 yakni terdapat pada atom H pada gugus OH (donor) dengan asam amino pada atom O pada gugus H=O (acceptor). Hal tersebut menandakan adanya interaksi antara ligan (+)-4-hydroxypanduratin A dengan sisi aktif makromolekul ER-α.

Visualisasi *docking* antara makromolekul Main protease ER-α dengan ligan rubranine menunjukkan hasil bahwa terdapat ikatan hidrofobik pada residu asam amino PHE 404, MET 343, LEU 535, ALA 350, LEU 391, LEU 346, LEU 387, dan TRP 383 yang menunjukkan bahwa terdapat aktifitas hidrofobik. Selain itu juga, terdapat ikatan hydrogen yaitu pada residu asam amino LEU 346. Ikatan hydrogen pada residu asam amino LEU 346 yakni terdapat pada atom H pada gugus OH (donor) dengan asam amino pada atom O pada gugus H=O *(acceptor)*. Hal tersebut menunjukkan adanya interaksi antara ligan rubranine dengan sisi aktif makromolekul ER-α.

Visualisasi *docking* antara makromolekul ER-α dengan ligan panduratin G menunjukkan hasil bahwa terdapat ikatan hidrofobik pada residu asam amino PHE 404, MET 421, ILE 424, LEU 346, ALA 350, LEU 525, LEU 387, LEU 391, LEU 428, dan HIS 524 yang menunjukkan bahwa terdapat aktifitas hidrofobik. Selain itu juga, terdapat ikatan hydrogen yaitu pada residu asam amino LEU 346 dan ARG 394. Ikatan hydrogen pada residu asam amino LEU 346 yakni terdapat pad atom H pada gugus OH (donor) dengan asam amino pada atom O pada gugus H=O (*acceptor*). Ikatan hydrogen pada residu

asam amino ARG 394 yakni terdapat pada atom H pada gugus OH (donor) dengan asam amino pada atom O pada gugus H=O *(acceptor)*. Hal tersebut menandakan adanya interaksi antara ligan panduratin G dengan sisi aktif makromolekul ER-α.

Berdasarkan hasil visualisasi *docking* antara reseptor target ER-α dengan kelima senyawa menunjukkan berbagai ikatan yang terbentuk, diantaranya ikatan hydrogen dan ikatan hidrofobik. Ikatan hidrofobik dalam stabilitas protein merupakan kontributor utama. Ikatan hydrogen turut membantu dalam stabilitas protein, namun pada tingkat yang lebih rendah daripada ikatan hidrofobik (Hariono *et al.*, 2016). Selain itu juga, yang terpenting adalah tingkat keberhasilan interaksi antara senyawa dan situs aktif protein ER-α, yang ditandai dengan pembentukan energi dalam bentuk ikatan hydrogen. Ikatan hydrogen (H) sering diamati antara ligan dan reseptor. Pasangan pembawa proton (disebut dengan donor ikatan hydrogen) dalam sistem biologis (protein/reseptor) biasa adalah gugus NH₃ atau OH. Ikatan diperoleh dari kekuatan besar karena atom hydrogen mempunyai kelompok donor terikat pada atom yang sangat elektronegatif, sehingga kerapatan elektron atom hydrogen bergeser ke atom lainnya (Pace *et al.*, 2011).

Docking Senyawa Golongan Flavonoid Pada Daun Sirsak (*Annona muricata* L.) terhadap Enzim Cyclooxygenase-2 (COX-2) sebagai Antiinflamasi Rheumatoid Arthritis

Ameliya Sari, Baedi Mulyanto

Email: asari8714@gmail.com

Rheumatoid arthritis merupakan penyakit autoimun progresif inflamasi kronik yang paling banyak menyebabkan kematian pada wanita 2-3 kali lebih banyak dibanding pria. Perlu dilakukan pengembangan terapi terutama yang memiliki target spesifik dan selektifitas tinggi terhadap peradangan rheumatoid arthritis dengan memanfaatkan bahan alam yang berkhasiat. Senyawa flavonoid yang ada pada daun sirsak (*Annona muricata* L.) mampu menghambat Cyclooxygenase-2 (COX-2) sehingga memiliki aktifitas sebagai antiinflamasi rheumatoid arthritis. Penelitian ini bertujuan untuk mengetahui senyawa flavonoid

dari daun sirsak (*Annona muricata* L.) yang memiliki aktivitas sebagai antiinflamasi rheumatoid arthritis dan mengetahui aktivitas antiinflamasi rheumatoid arthritis dari daun sirsak (*Annona muricata* L.) melalui *molecular docking*. penelitian ini merupkan jenis penelitian kualitatif eksploratif dengan mengidentifikasi kompleks ligan-reseptor dan efek dari penyatuan suatu ligan yang berasal dari senyawa tanaman dengan reseptor yang merupakan enzim target dari inflamasi rheumatoid arthritis menggunakan metode molecular docking secara *in silico*. Ada beberapa tahap dalam molecular docking diantaranya pemodelan dan optimasi struktur senyawa, preparasi enzim, validasi docking, proses *docking* dan visualisasi hasil. Hasil penelitian menunjukan bahwa senyawa flavonoid dari daun sirsak catecin dengan energi ikatan (-6) dan quercetin-3beta-d-glucoside memperoleh energi ikatan (-9,6) yang berpotensi sebagai antiinflamasi rheumatoid arthritis dan berbagai ikatan berupa ikatan hidrofobik, elektrostatik dan hidrogen. Enzim Cyclooxygenase-2 (COX-2) lebih selektif dibanding dengan enzim Cyclooxygenase-1 (COX-1) dan senyawa paling berpotensi sebagai kandidat obat baru rheumatoid arthritis dengan menghambat COX-2 adalah quercetin-3beta-d-glucoside.

A. Sirsak (Annona muricata L)



Sistematika dan klasifikasi tanaman sirsak adalah sebagai berikut [1].

Kingdom : Plantae

Divisi : Spermatophyta
Sub divisi : Angiospermae
Kelas : Dicotyledonae
Ordo : Polycarpiceae
Famili : Annonaceae
Genus : Annona

Spesies : Annona muricata L.

Annona muricata (Inggris/Belanda), sirsak (Indonesia), mulwa londa, surikaya welonda, srikaya welandi, nangka sabrang (Jawa), nangka walanda, sirsak (Sunda), srikaya jawa (Bali), nangka buris (Madura), deureuyan Belanda (Aceh), durian batawi (Minangkabau), langelo, walanda (Gorontalo), jambu landa (Lampung), serikaja (Bugis), naka walanda (Ternate) [2].

Morfologi dan Karakteristik Tanaman Sirsak

Tanaman sirsak berasal dari Amerika selatan yaitu meksiko, tumbuh disembarang tempat, pada tempat terbuka dan mengandung air yang cukup banyak. Memiliki tinggi pohon mencapai 5-8 m, batang kayu bercabang dan berwarna coklat, bunganya berwarna kuning kehijauan berupa bunga tunggal di batang kayu. Buah sirsak berwarna hijau berukuran sedang hingga besar dapat berbentuk hati ataupun oval tidak beraturan. Daging buah berwarna putih dapat dikonsumsi secara langsung terdiri atas segmen serat berair dan memiliki biji keras berwarna hitam [1].

Daun sirsak merupakan daun tidak lengkap karena terdiri dari helaian daun dan tangkai daun, daun sirsak termasuk golongan daun tunggal Daun sirsak berwarna hijau muda hingga hijau tua memiliki panjang 6-18 cm, lebar 3-7 cm, permukaan daun licin, berbentuk jorong atau ovalis, ujungnya lancip pendek, daun bagian atas mengkilap hijau dan gundul pucat kusam dibagian bawah daun, berbentuk lateral saraf. Daun sirsak memiliki bau tajam menyengat dengan tangkai daun pendek sekitar 3-10 mm, dan tepi daun rata [3].

Kandungan Kimia dan Senyawa Flavonoid Daun Sirsak

Sirsak (*Annona muricata* (L.)) adalah tumbuhan tropis dari keluarga Annonaceae yang memiliki banyak senyawa fenolik, dari penelitian yang telah dilakukan daun sirsak mengandung senyawa minyak esensial secara empiris bermanfaat untuk nyeri akibat peradangan, demam, pernapasan, infeksi bakteri, hipertensi, penyakit kulit, diabetes dan kanker. Dari beberapa review dan penelitian secara in vivo ditemukan 200 lebih senyawa yang ada pada tumbuhan sirsak termasuk daun sirsak yang memiliki aktifitas sebagai antiinflamasi yaitu senyawa flavonoid [4]

Daun sirsak selain sebagai antiinflamasi juga dapat berfungsi sebagai antioksidan primer dan sekunder. Sebagai antioksidan primer dengan memberikan ion hidrogen sehingga ion radikal bebas menjdi stabil, sedangkan untuk antioksidan sekunder yaitu dengan meningkatkan sintesis enzim antioksidan endogen superoxide dismutase sehingga dalam keadaan ion yang stabil menyebabkan penurunan keadaan stress oksidatif pada jaringan [5]. Daun sirsak digunakan sebagai obat tradisional diberbagai negara karena terdapat sejumlah penelitian telah membuktikan bahwa tanaman sirsak memiliki efek antikonfulsan, antiarthritis, antikanker, antiparasitt, antimalaria, antidiabetes [6]. Flavonoid merupakan senyawa polifenol terbesar yang ada pada tumbuhan. Quersetin merupakan senyawa kelompok flavonol terbesar yang ada pada daun sirsak, sekitar 60-75% kandungan quersetin dan glikosidanya dalam flavnoid. Dari studi in vitro quersetin telah menunjukkan aktivitas antiinflamasi yang signifikan dengan menghambat sintesis dan pelepasan histamin dan mediator alergis inflamator lainnya [7].

Pada uji fitokimia diketahui kandungan senyawa ekstrak daun sirsak dengan metode Kromatofrafi Lapis Tipis (KLT) dengan ekstrak etanol 96%. Daun sirsak memiliki kandungan senyawa flavonoid, alkaloid, terpenoid, tanin dan saponin, ekstrak n-heksan pada ekstrak etil asetat daun sirsak tidak memiliki senyawa golongan alkaloid, flavonoid, terpenoid dan saponin, pada uji ekstrak etil asetat daun sirsak tidak tidak memiliki senyawa terpenoid, ekstrak air dan ekstrak air (infusa) daun sirsak tidak meiliki kandungan senyawa alkaloid.

Tabel 2.1 kandungan senyawa ekstrak etanol daun sirsak [4]

No.	Kandungan Senyawa	Ekstrak n-heksan	Ekstrak Etil asetat	Ekstrak Etanol 96%	Ekstrak Air
1.	Alkaloid	-	V	V	-
2.	Flavonoid	-			V
3.	Terpenoid	-	-	$\sqrt{}$	V
4.	Tanin	-	$\sqrt{}$	$\sqrt{}$	V
5.	Saponin	-	$\sqrt{}$	$\sqrt{}$	

Senyawa flavonoid pada daun sirsak cukup tinggi, flavonoid merupakan senyawa yang dilaporkan dapat mempengaruhi proses inflamasi dan mempunyai efek sebagai antiinflamasi dengan potensi flavonoid yang dapat menghambat enzim COX-2 sehingga memperlambat pembentukan prostaglandin [8]. Flavonoid adalah senyawa yang digunakan sebagai komponen aktif fisiologis utama dalam mengobati penyakit pada manusia, salah satunya flavonol seperti senyawa quercetin, myricetin dan kaempferol yang telah dilaporkan memiliki berbagai fungsi biologis untuk obat seperti antiinflamasi, antioksidan, antitrombotik, aniaterosklerotik dan efek antiaterogenik [9]. Pada Gambar 2.3 menunjukan struktur senyawa golongan flavonoid pada daun sirsak.

Glabridin

Quercetin

Kaempferol

Isoquercitrin

Nicotiflorin

Rutin

Isorhamnetin-3-robinobioside

HO OH OH

Cacticin

Saponarin

Narcissin

kaempferol-7-o-

glucoside

quercetin-3beta-d-glucosid

Gambar 2.3 struktur senyawa flavonoid dau sirsak (*Annona muricata*) Sumber: Gambar diperoleh dari laporan penelitian [10] dan [11].

Manfaat Daun Sirsak

Daun sirsak dimanfaatkan sebagai salah satu sumber bahan obat. Daun sirsak berkhasiat untuk antioksidan, antipiretik, antibakteri, antibiotik, dan antidiabetes. Daun sirsak memiliki aktivitas sebagai antiinflamasi rematik [2].

B. Hasil Docking

Studi docking (penambatan) berarti studi yang mempelajari bagaimana dua atau lebih struktur molekul berikatan secara tiga dimensi. Molecular docking umumnya digunakan untuk memprediksi struktur kompleks intermolekuler yang terbentuk antara satu molekul (ligan) disekitar molekul lainnya (protein) sehingga terjadinya interaksi antar kedua molekul [12]. Software yang digunakan pada penelitian ini yaitu pyrx berbasis Autodock Vina. Software ini dapat melakukan penambatan molekul dalam jumlah lebih dari satu dan meminimalisir ukuran senyawa agar proses docking dapat berjalan dengan cepat [13]. Penambatan molekul melalui Autodock Vina akan memperoleh hasil penambatan berupa score dari interaksi antar molekul dengan enzim/protein target.

Penambatan molekul ligan pada enzim target dilakukan menggunakan software Autodock Vina melalui software Pyrx dengan mengamati parameter RMSD, energi ikatan dan profil ikatan ligan dengan residu asam amino. Titik koordinat (grid box) disesuaikan dengan hasil validasi sebab koordinat tersebut merupakan tempat ligan alami berinteraksi dengan enzim COX-1 maupun enzim COX-2. Pada proses docking menggunakan software Autodock Vina, ligan ditambahkan kemudian dilakukan penambahan makromolekul untuk penentuan active site atau grid box dari enzim. Selanjutnya di-forward untuk mengetahui scoring energi ikatan antara ligan dan enzim target. Jika nilai energi ikatan atau affinity mode 1 dari senyawa uji semakin rendah maka layak untuk dilanjutkan ketahap visualisasi hasil docking [14]. Berikut ini hasil penambatan senyawa golongan flavonoid dengan enzim COX-1 dan COX-2.

Enzim Cyclooxygenase-1 (COX-1)

Senyawa golongan flavonoid yang telah di-docking dengan enzim COX-1 ditemukan senyawa yang berpotensi sebagai antiinflamasi rheumatoid arthritis yaitu senyawa catechin. Hasil yang diperoleh dari penambatan (docking) ligan uji dengan enzim COX-1 yakni berupa energi ikatan, RMSD, dan profil ikatan ligan-protein. Hasil penambatan ligan uji senyawa golongan flavonoid daun sirsak dengan enzim COX-1 dapat dilihat pada tabel berikut:

Tabel 4.6 Interaksi ligan uji dengan Enzim COX-1						
Enzim	nzim Ligan Energi RMSD/ RMSD/ Ikatan Ikatan					
		ikatan	lb	ub	hidrogen	lain

COX-1	Catechin	-6	0,0	0,0	GLY 471,	LEU 123,
(6Y3C)					ARG 83	GLU 524,
						ARG 120,
						PRO 86

Berdasarkan data hasil *docking* pada tabel 4.6 antara ligan senyawa flavonoid daun sirsak dengan enzim target antiinflamasi rheumatoid arthritis COX-1, diketahui senyawa flavonoid daun sirsak dapat berinteraksi dengan sisi aktif dari enzim target COX-1. Diperoleh hasil penambatan dengan COX-1 nilai konformasi energi ikatan mencapai -6. Senyawa catechin merupakan hasil energi ikatan paling rendah dibanding dengan senyawa lain yang mengindikasikan bahwa senyawa tersebut memiliki potensi sebagai kandidat obat jika berikatan dengan enzim target. Energi ikatan menunjukkan besarnya afinitas antara ligan uji dengan reseptor target. Semakin besar nilai energi ikatan maka afinitas antara reseptor dengan ligan semakin rendah dan sebaliknya apabila semakin kecil nilai enrgi ikatan maka afinitas antara reseptor dengan ligan semakin tinggi (Muttaqin, 2019).

Enzim Cyclooxygenase-2 (COX-2) Senyawa golongan flavonoid yang telah di-docking dengan enzim COX-2 ditemukan senyawa yang berpotensi sebagai antiinflamasi rheumatoid arthritis yaitu senyawa quercetin-3beta-d-glucoside. Hasil yang diperoleh dari penambatan (docking) ligan uji dengan enzim COX-

2 yakni berupa energi ikatan, RMSD, dan profil ikatan ligan-protein. Hasil penambatan ligan uji senyawa golongan flavonoid daun sirsak dengan enzim COX-2 dapat dilihat pada tabel berikut:

Tabel 4.7 Interaksi ligan uji dengan enzim COX-2

Enzim	Ligan	Energi ikatan	RMSD/ lb	RMSD/ ub	Ikatan hidrogen	Ikatan lainnya
COX-2 (5F19)	quercetin- 3beta-d- glucoside	-9,6	0,0	0,0	ASN 382, TRP 387, TYR 385, ALA 199	ALA 450, VAL 447, HIS 386, HIS 388

Berdasarkan data hasil *docking* pada tabel 4.7 antara ligan senyawa flavonoid daun sirsak dengan enzim target antiinflamasi rheumatoid arthritis COX-2, diketahui senyawa flavonoid daun sirsak dapat berinteraksi dengan sisi aktif dari enzim target COX-2. Diperoleh hasil penambatan dengan COX-2 nilai konformasi energi ikatan mencapai -9,6. *Affinity* (energi ikatan) ialah ukuran kemampuan obat untuk berikatan dengan reseptor. Nilai energi ikatan semakin rendah menunjukkan ikatan antara ligan dan protein yang dihasilkan semakin stabil [16].

Secara termodinamika dalam interaksi intermolekuler dan pembentukan kompleks senyawa ligan-protein ditentukan oleh perubahan energi bebas, pengikatan ligan-protein terjadi jika bernilai negatif dan energi bebas ikatan sebanding dengan stabilitas interaksi ligan-protein maka keseluruhan reaksi berlangsung secara spontan [17]. Interaksi yang akan dianalisis antara ligan-protein yakni ikatan hidrogen dan kontak residu asam amino antara ligan-enzim, Oleh sebab itu ligan-enzim terjadi energi ikatan energi bebas mengindikasikan kestabilan kompleks ligan-enzim yang termasuk karakteristik penting dalam kemanjuran suatu obat [18].

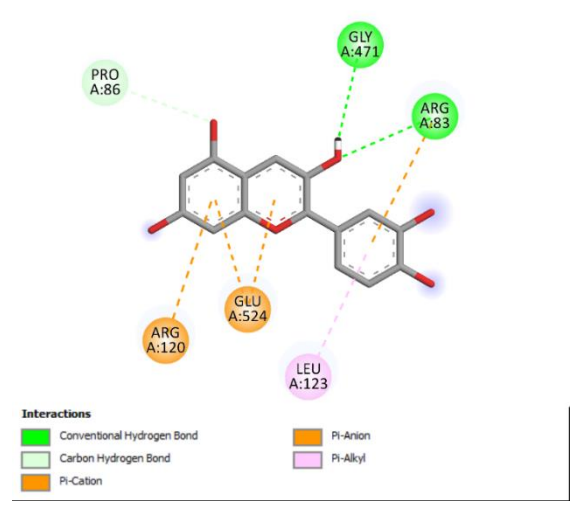
Penilaian selektifitas enzim dilihat dari energi ikatan yang terbentuk antara protein dengan senyawa uji. Senyawa yang memiliki energi ikatan lebih rendah terhadap enzim COX-1 dibanding terhadap enzim COX-2. Dari hasil yang telah diperoleh dapat dikatakan bahwa enzim COX-2 lebih selektif dibandingkan dengan enzim COX-1, karena senyawa uji yang ditambatkan (*docking*) memiliki energi ikatan lebih rendah terhadap enzim COX-2 daripada enzim COX-1. Hal ini didukung dengan penelitiannya [19] menyebutkan bahwa hasil *docking* dari senyawa antiinflamasi xanthorrhizol dapat berikatan dengan sisi aktif enzim COX-1 dan COX-2, namun enzim COX-2 lebih selektif dengan nilai energi ikatan *docking* yang lebih kecil/rendah dibanding interaksinya dengan enzim COX-1.

Visualisasi Hasil

Visualisasi hasil *docking* interaksi ikatan struktur 2D dan 3D menggunakan *software Biiovia Discovery Studio*.

Enzim Cyclooxygenase-1 (COX-1)

Berikut ini hasil visualisasi hasil docking dari senyawa ligan uji dengan nilai energi ikatan terendah yaitu senyawa catechin. Interaksi senyawa catechin dengan enzim COX-1 dapat dilihat pada gambar 4.10 sebagai berikut:



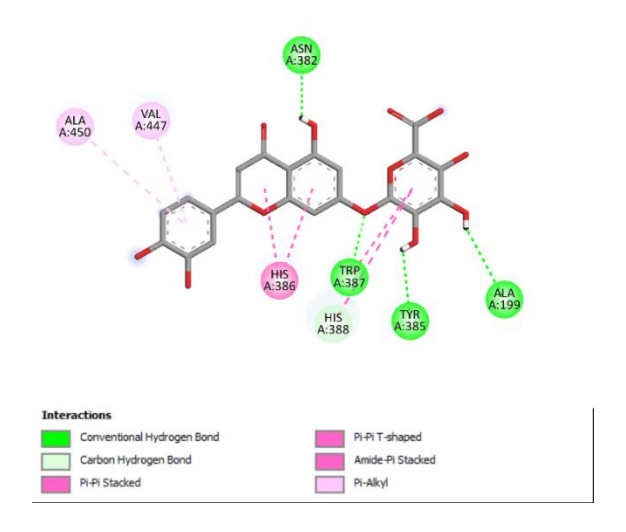
Gambar 4.10 Interaksi senyawa uji catechin dengan enzim COX-1

Hasil visualisasi *docking* antara makromolekul cyclooxygenase-1 (COX-1) dengan senyawa catechin menunjukkan berbagai macam ikatan energi yang tebentuk yaitu ikatan hidrofobik diantaranya pada residu asam amino Arginin (ARG 120), Prolin (PRO 86), Arginin (ARG 83), Leusin (LEU 123), ikatan hidrofoik merupakan kontributor utama dalam stabilitas protein yang memiliki sifat tidak larut dalam air dan merupakan ikatan yang penting dalam proses penyatuan daerah molekul ligan dan reseptor target non polar [20]. Terbentuk pula ikatan elektrostatik pada residu asam amino Glutamin (GLU 524) yang menandakan adanya interaksi elektrostatik. Adanya ikatan hidrofobik dan interaksi elektrostatik dapat memberikan kontribusi pada konformasi ligan enzim selain ikatan hidrogen dan nilai energi ikatannya [21].

Selain ikatan hidrofobik dan interaksi elektrostatik juga terdapat ikatan hidrogen bond pada residu asam amino Glisin (GLY 471) yakni pada atom H pada gugus OH (donor) dengan asam amino pada atom O pada gugus C=O (acceptor). Hal tersebut menandakan adanya interaksi antara ligan catecin dengan sisi aktif makromolekul Cyclooxygenase-1 (COX-1). Penelitian ini didukung penelitian hasil uji in silico yang dilakukan oleh (Romadhana *et al.*,2023) menyebutkan bahwa senyawa golongan flavonoid catechin menjadi senyawa kandidat obat kedua yang mempunyai nilai energi ikatan terendah dengan reseptor interleukin-6 (IL-6) sebagai antiinflamasi, reseptor IL-6 merupakan sitokin kunci yang terlibat dalam rheumatoid arhritis.

Enzim Cyclooxyenase-2 (COX-2)

Hasil visualisasi hasil docking dari senyawa ligan uji dengan nilai energi ikatan terendah yaitu senyawa quercetin-3beta-d-glucoside. Interaksi senyawa quercetin-3beta-d-glucoside dengan enzim COX-2 dapat dilihat pada gambar 4.11 sebagai berikut.



Gambar 4.11 Interaksi senyawa uji quercetin-3beta-d-glucoside dengan enzim COX-2

Visualisasi *docking* antara makromolekul cyclooxygenase-2 (COX-2) dengan senyawa quercetin-3beta-d-glucoside menunjukkan berbagai ikatan energi yang terbentuk, diantaranya ikatan hidrofobik seperti yang terlihat pada gambar 4.11 pada residu asam amino Alanin (ALA 450), Histidin (HIS 386), Valin (VAL 447), Histidin (HIS 388), Triptofan (TRP 387), Tyrosin (TYR 385), Alanin (ALA 199). Ikatan hidrogen pada residu asam amino ASN 382, yakni pada atom O gugus OH (donor) dengan asam amino dengan atom H pada gugus NH₂ (acceptor). Hal tersebut menandakan adanya interaksi antara ligan quercetin-3beta-d-glucoside dengan sisi aktif makromolekul Cyclooxygenase-2 (COX-2). Penelitian terdahulu yang dilakukan oleh [23] tentang potensi senyawa aktif daun serai (*Chymbopogon citratus*) sebagai obat herbal antiinflamasi dengan mekanisme aktivasi pada enzim COX-1 dan penghambatan COX-2 melalui studi *in silico* yang menyatakan bahwa, senyawa quercetin merupakan senyawa flavonol terbesar menjadi senyawa aktif terbaik ketiga yang mempunyai efek antiinflamasi dengan cara berikatan terhadap enzim target COX-2 dan menghambat aktivitasnya sehingga menghambat pengeluaran prostaglandin.

Berdasarkan hasil visualisasi hasil docking antara senyawa catechin dengan enzim COX-1 dan senyawa quercetin-3beta-d-glucoside dengan enzim COX-2 menunjukkan berbagai ikatan yang terbentuk, yang paling mendominasi yaitu interaksi hidrofobik. Interaksi elektrostatik hanya terlihat pada interaksi senyawa catechin dengan enzim COX-1 yakni jenis pi-anion yang diduga memberikan kontribusi baik pada energi ikatan yang terbentuk. Senyawa quercetin-3beta-d-glucoside dengan enzim COX-2 terdapat ikatan hidrogen dan hidrofobik menyebabkan perubahan aktifitas biologis dengan memberikan efek farmakologi terapi tertentu atau bisa disebut bahwa senyawa akan bereaksi sebagai obat jika berikatan dengan reseptor atau enzim [24]. Ikatan hidrogen penting dalam sifat khas dan menentukan struktur molekul, semakain banyak interaksi ikatan hidrogen yang dihasilkan maka semakin kuat afinitas obat terhadap reseptor target [25].

Ikatan hidrogen sangat penting untuk diamati antara ligan dan reseptor dan dari visualisasi hasil senyawa telah terjadi interkasi antara senyawa dengan sisi aktif dari enzim

COX-1 maupun COX-2 yang ditandai dengan terbentuknya energi berupa ikatan hidrogen bond. Ikatan tersebut mencapai energi yang besar sebab atom hidrogen (H) dari kelompok donor terikat pada tom yang sangat elektronegatif [26]. Hasil penambatan kedua senyawa flavonoid daun sirsak (*Annona muricata* L.) yang telah divisualisasikan berfungsi sebagai inhibitor yang dapat menghambat atau menghentikan laju reaksi kimia enzimatik yang diekspresikan pada area peradangan akibat pembentukan prostaglandin. Mekanisme flavonoid dalam bentuk inhibitor yang bereaksi dengan enzim Cyclooxygenase-2 (COX-2) akan membentuk efek terapi yang serupa dengan efek penggunaan antiinflamasi nonsteroid celecoxib. COX-2 inhibitor selektif (penghambat COX-2) akan berperan menghambat sintesis prostaglandin yang terinduksi pada area peradangan membran synovial tanpa mempengaruhi aksi isoenzim COX-1 yang aktif secara konstitutif pada saluran cerna, trombosit, dan ginjal [27].

Potensi Senyawa Flavonoid Daun Sembung (*Blumea balsamifera* (L.)) terhadap Enzim Siklooksigenase-2 (Cox-2) sebagai Antiinflamasi *Gout Arthritis*. M.Fardan Rizquloh, Ubun Fadly Serahli, Syaiful Prayogi

Gout Arthritis merupakan salah satu jenis penyakit arthritis yang memiliki angka kejadian yang cukup tinggi terlihat dari data diagnosis tenaga kesehatan. Penggunaan obat-obatan antiinflamasi non steroidal (AINS) dalam jangka waktu yang panjang dapat menyebabkan efek samping yang merugikan, perlu dilakukan pengembangan terapi yang memiliki target spesifik dan aman terhadap antiinflamasi gout arthritis dengan memanfaatkan bahan alam. Senyawa flavonoid pada daun sembung (Blumea balsamifera (L.)) mampu menghambat enzim COX-2 sehingga memiliki aktivitas sebagai antiinflamasi gout arthritis. Penelitian ini bertujuan untuk mengetahui senyawa flavonoid sebagai antiinflamasi gout arthritis dan menganalisis aktivitas antiinflamasi gout arthritis dari daun sembung (Blumea balsamifera (L.)) melalui molecular docking. Penelitian ini merupakan penelitian kualitatif eksploratif dengan mengidentifikasi kompleksasi dan efek dari penggabungan ligan yang berasal dari senyawa bahan alam dengan protein target dari penyakit gout arthritis menggunakan metode molecular docking secara in silico. Ada beberapa tahap dalam molecular docking diantaranya pemodelan dan optimasi senyawa, preparasi enzim, validasi docking, proses docking, visualisasi dan prediksi ADMET. Hasil penelitian menunjukkan bahwa senyawa quercetin dan tamarixetin memiliki energi ikatan berturut-turut sebesar -83,385 kkal/mol dan -81,919 kkal/mol yang berpotensi sebagai antiinflamasi gout arthritis dibandingkan dengan senyawa pembanding (ibuprofen dan rofecoxib) dan berbagai ikatan yang terbentuk berupa ikatan hidrogen dan hidrofobik. Enzim COX-2 lebih selektif dibandingkan enzim COX-1. Hasil prediksi ADMET menunjukkan bahwa terdapat 3 senyawa yang termasuk aturan lipinski rule of five diantaranya: quercetin, tamarixetin dan rhamnetin.

A. Daun Sembung (Blumea balsamifera L.)



Gambar 2.3 Tanaman Sembung Sumber: (Widhiantara & Jawi, 2021)

1. Klasifikasi Ilmiah Tanaman Sembung (Blumea balsamifera L.)

Sistematika dan klasifikasi adalah sebagai berikut (Rahardjo, 2016).

Kingdom : Plantae

Subkingdom : Embryophyta
Divisi : Spermatophyta
Kelas : Dicotyledonae

Ordo : Asterales

Famili : Asteraceae (Compostitae)

Genus : Blumea

Spesies : Blumea balsamifera (L.)

Nama spesies tanaman sembung adalah *Blumea balsamifera* Linn., merupakan tumbuhan dari kelas *Dicotyledonae*, famili *Asteraceace* dan genus *Blumea*. Istilah tanaman sembung sendiri mempunyai penyebutan nama yang berbeda di berbagai daerah khususnya indonesia, misalnya dikenal dengan sembung gantung, sembung kuwuk, sembung mingsa, sembung langu di Jawa, sembung utan di Sunda, kamadhin di Madura, sembung di Bali dan capo di Sumatera (Narsamsu & Firmansyah, 2017).

2. Morfologi dan Karakteristik Tanaman Sembung (Blumea balsamifera (L.))

Tanaman Sembung (*Blumea balsamifera* (L.)) merupakan tanaman yang cenderung tumbuh hijau dan berbunga di pinggir jalan dan tanah lapang. Tanaman sembung memiliki tinggi mencapai 4 meter dengan batang yang tegak, berbulu halus dan berwarna hijau kekotoran. Daunnya berbentuk lonjong dengan pangkal dan ujung meruncing, tepi bergerigi dan memiliki bulu yang halus (Narsamsu & Firmansyah, 2017). Daun tanaman sembung bewarna hijau dengan panjang sekitar 10 – 30 cm. Tanaman sembung biasanya tumbuh diwilayah yang beriklim tropis salah satunya adalah Indonesia (Dwi Ocktaviani *et al.*, 2023). Tanaman sembung juga memiliki bunga kelompok berbentuk malai tumbuh diketiak daun dan ujung batang serta buahnya berbentuk silindris, berambut dan bewarna putih kecoklatan (Narsamsu & Firmansyah, 2017).

3. Kandungan kimia dan Senyawa Daun Sembung

Blumea balsamifera merupakan tanaman liar yang hidup ditanah lapang, biasanya tanaman ini digunakan sebagai obat tradisional untuk mengobati peradangan, batuk, bronkitis, dan asma (Bagus et al., 2019). Tanaman sembung mengandung berbagai senyawa penyusun. Studi in vivo melaporkan bahwa lebih dari 100 kandungan fitokimia pada tanaman sembung bersifat volatil dan non volatil. Senyawa penyusun volatil terdiri dari terpenoid, asam lemak, fenol, alkohol, aldehid, eter, keton,piridin, furan dan alkana. Sedangkan senyawa penyusun non-volatil terdiri dari flavonoid, flavanon dan kalkon (Widhiantara & Jawi, 2021). Beberapa penelitian lain juga menemukan bahwa tumbuhan sembung mengandung zat aktif seperti flavanol, tanin, damar, ksantoksilin dan minyak atsiri yang terdiri atas borneol, sineol, landerol, dan kamper.

Senyawa metabolit sekunder yang berfungsi sebagai bahan aktif dalam biofarmaka, juga ditemukan dalam daun sembung. Flavonoid, alkaloid, tanin, terpenoid, dan saponin merupakan metabolit sekunder yang ditemukan didalam daun sembung. Senyawa flavonoid telah terbukti mampu menghambat proliferasi sel-sel kanker pada manusia. Selain itu, Senyawa flavonoid dan polifenolat memiliki sifat antioksidan, antidiabetik, antikanker, antiseptik, dan antiinflamasi (Maslahat *et al.*, 2014). Flavonoid merupakan salah satu senyawa yang tergolong kelompok polifenol yang diklasifikasikan berdasarkan struktur biosintesisnya. Struktur kimia pada senyawa

flavonoid dirumuskan dengan C6-C3-C6. Flavonoid mempunyai kerangka struktur yang terbentuk dari satu cincin aromatik A, satu cincin aromatik B, dan cincin tengah membentuk heterosiklik yang mengandung oksigen dengan bentuk teroksidasi, yang digunakan sebagai dasar untuk mengelompokan flavonoid kedalam sub-sub kelompoknya (Amalia & Alfaridz, 2018). Flavonoid juga memiliki aktivitas antiinflamasi dikarenakan flavonoid berperan dalam menghambat produksi prostaglandin, dengan menghambat enzim siklooksigenase (COX) atau lipooksigenase (LOX) serta menghambat akumulasi leukosit sehingga menjadi antiinflamasi (Saputri et al., 2020).

Quercetin merupakan jenis senyawa flavonoid yang tergolong dalam kelompok flavonol terbesar pada daun sembung, quercetin menunjukkan aktivitas antiinflamasi menghambat sintesis dan pelepasan histamin dan mediator inflamasi (Purwanto *et al.*, 2021).

Pada pengujian fitokimia diketahui bahwa kandungan senyawa ekstrak daun sembung memiliki kandungan alkaloid, flavonoid, tanin dan steroid dengan pelarut masing masing diantaranya n-heksan, etil asetat dan etanol yang menunjukkan positif.

Tabel 2.1 Kandungan senyawa ekstrak n-heksan, etil asetat dan etanol daun sembung (Ameliana *et al.*, 2022).

Pelarut	Alkaloid	Flavonoid	Saponin	Tanin	Steroid	Triterpenoid
N-heksan	+	+	-	+	+	-
Etil Asetat	+	+	-	+	+	-
Etanol	+	+	-	+	-	-

Senyawa flavonoid pada daun sembung cukup tinggi, selain itu flavonoid memiliki efek yang bermanfaat untuk kesehatan dan memiliki berbagai aplikasi dalam nutraceutical, farmasi, obat, dan kosmetik karena memiliki aktivitas yang beragam termasuk antioksidan, antiinflamasi, antimutagenik, dan sifat antikarsinogenik. Selain itu, flavonoid juga mampu memodulasi fungsi enzim seluler kunci. Beberapa enzim penting seperti xanthine oxidase (XO), cyclooxygenase (COX), lipoxygenase, dan phosphoinositide 3-kinase dapat dihambat oleh senyawa flavonoid yang dikenal sebagai inhibitor poten (Khoirunnisa & Sumiwi, 2019).

Struktur Kimia Senyawa Flavonoid pada Daun Sembung (Wang et al., 2023)

HO OH OH

Isorharmnetin-3-O-β-D- Galactopyranoside

4. Manfaat Daun Sembung

Daun sembung (*Blumea*) merupakan tanaman biofarmaka yang dikenal memiliki banyak manfaat bagi kesehatan. Kebanyakan masyarakat indonesia memanfaatkan daun sembung untuk mengatasi berbagai masalah kesehatan seperti batuk, diare, diabetes, influenza, rematik, nyeri haid, haid yang tidak teratur, demam,

asma, bronchitis dan perut kembung (Maslahat *et al.*, 2014). Daun sembung memiliki manfaat empiris seperti antitumor, hepatoprotektif, pembasmi radikal superoksida, antioksidan, antimikroba, antiinflamasi, antiplasmodial, antitirosinase, agregasi trombosit, penyembuhan luka dan antiobesitas (Pang *et al.*, 2014). Selain itu, penelitian eksperimental menunjukkan bahwa ekstrak daun sembung dapat mengurangi kadar asam urat darah tikus putih jantan galur wistar hiperurisemia dengan berat tikus 150 hingga 200 gram dan usia 2 hingga 3 bulan. Studi ini melibatkan 25 tikus yang diambil secara acak dan dikelompokkan menjadi 5 kelompok termasuk kelompok kontrol. Untuk menetapkan kadar awal asam urat darah, tikus ini sebelumnya dipuasakan selama lebih dari dua belas jam. Setelah itu, darahnya diambil melalui jantung. Hasil perhitungan statistik menunjukkan bahwa tidak ada korelasi antara dosis ekstrak daun sembung yang lebih tinggi dengan efek yang lebih besar pada penurunan kadar asam urat darah pada tikus putih jantan yang menderita hiperurisemia. Dosis 2 g/kgB dapat menurunkan asam urat dengan paling efektif (Agustina, 2009).

B. Hasil Docking

Docking senyawa uji terhadap enzim target dilakukan menggunakan perangkat lunak PLANTS berbasis command prompt (cmd). Hasil skor docking dari 11 senyawa flavonoid yang telah didockingkan dengan enzim COX-1 ditemukan beberapa senyawa yang berpotensi sebagai antiinflamasi namun memiliki sedikit aktivitas antiinflamasinya dibandingkan dengan senyawa yang ditambatkan dengan enzim COX-2. Hasil yang diperoleh dari ligan uji dengan enzim COX-1 berupa energi ikatan dan profil ikatan antara ligan dengan protein. Berikut merupakan hasil skor penambatan 11 senyawa flavonoid yang dapat dilihat dari tabel 4.4 berikut

T 1 1 4 4 II '1	1 1 .	C1	'14 1 1	' COV 1
Label 4 4 Hasii	- score аоскіпо	senvawa na	ivonoia ternada	ap enzim COX-1
I WOOL II I I I I I I I I I I I I I I I I I	seer e deciming	bell , a ma lia	i i onora termaa	op onzmi com

Nama senyawa	Skor <i>docking</i>	
Quercetin	-51,503	
Ombuin	-47,329	
Tamarixetin	-47,172	
Rhamnetin	-49,746	
Hyperoside	-24,354	
Chrysosplenol C	-23,964	
Ayanin	-35,417	
Isoquecitrin	-17,844	
Kumatakenin	-39,650	
Rutin	-27,072	
Isoharmnetin-3-O-β-D Galactopyranoside	0,7868	

Sedangkan hasil skor *docking* dari 11 senyawa flavonoid yang telah didockingkan dengan enzim COX-2 ditemukan beberapa senyawa yang berpotensi sebagai antiinflamasi yang cukup kuat. Hasil yang diperoleh dari ligan uji dengan enzim COX-2 berupa energi ikatan dan profil ikatan antara ligan dengan protein. Berikut merupakan hasil skor penambatan 11 senyawa flavonoid yang dapat dilihat dari tabel 4.5 berikut

Tabel 4.5 Hasil score docking senyawa flavonoid terhadap enzim COX-2

Nama senyawa	Skor docking
Quercetin	-83,385
Ombuin	-79,059
Tamarixetin	-81,919
Rhamnetin	-79,521

Hyperoside	-60,561	
Chrysosplenol C	-60,050	
Ayanin	-68,003	
Isoquecitrin	-59,903	
Kumatakenin	-72,341	
Rutin	-44,380	
Isoharmnetin-3-O-β-D Galactopyranoside	-60,671	

Dari hasil tabel 4.5 menunjukkan bahwa nilai skor *docking* yang menunjukkan energi ikatan yang semakin negatif terdapat pada senyawa quercetin, rhamnetin dan tamarixetin. Berdasarkan hasil penambatan dari ketiga senyawa diatas senyawa yang memiliki energi paling rendah terdapat pada senyawa quercetin dengan energi ikatan sebesar -83,385 kkal/mol.

Beberapa faktor penambatan molekul dapat dikatakan optimal yaitu dilihat dari nilai *scoring* penambatan serta penentuan geometri yang tepat. Nilai scoring berguna sebagai pertimbangan dalam menghitung energi ikatan yang semakin negatif menunjukkan tingkat kestabilannya terhadap protein dengan ligan yang terbentuk serta mengidentifikasi urutan peringkat energi pada senyawa (Jannah, 2021). Hal ini dapat dikatakan bahwa ketiga senyawa tersebut memiliki aktivitas sebagai antiinflamasi terhadap enzim COX-2.

Selain dilihat dari nilai skor *docking*, ketiga senyawa ini dapat dilihat dari beberapa interaksi antara ligan dengan enzim. Berikut tabel 4.6 hasil interaksi yang terjadi pada ketiga senyawa yang did*ocking*kan dengan enzim COX-1.

Tabel 4.6 Hasil interaksi senyawa uji dengan enzim COX-1

No	Ligan	Energi ikatan	Ikatan Hidrogen	Ikatan Lain
1.	Quercetin	-51,503	ARG 120 TYR 355	ALA 527, ILE 523 LEU 352, SER 530 PHE 518, VAL 116 VAL 349
2.	Ombuin	-47,329	ARG 120	ALA 527, ILE 523 LEU 352, LEU 357 LEU 359, LEU 384 SER 530, TYR 355 TYR 385, TRP 387 PHE 381, VAL 116 VAL 349
3.	Rhamnetin	-49,746	ARG 120	ALA 527, ILE 523 LEU 352, LEU 384 SER 530, TYR 355 TYR 385, TRP 387 PHE 381, PHE 518 VAL 116, VAL 349

Berdasarkan data hasil *docking* pada tabel 4.6 interaksi senyawa uji dengan enzim COX-1 diperoleh nilai konformasi energi ikatan diantaranya senyawa Quercetin (-51,503) kkal/mol, senyawa Ombuin (-47,329) kkal/mol dan senyawa Rhamnetin (-49,746) kkal/mol. Hasil energi ikatan dari ketiga senyawa tersebut merupakan hasil senyawa yang tergolong paling rendah dibandingkan dengan senyawa lain yang mengindikasikan bahwa ketiga senyawa tersebut merupakan senyawa yang dapat berpotensi sebagai kandidat obat apabila berikatan dengan enzim target. Energi ikatan merupakan parameter suatu obat untuk berikatan dengan enzim target, dimana nilai energi yang semakin rendah menunjukkan tingkat kestabilan ikatan antara protein dengan ligan semakin baik. Kestabilan interaksi yanng terjadi sebanding dengan kemampuan suatu senyawa dalam membentuk ikatan kimia yang kuat (Dari et al, 2022).

Berikut tabel 4.7 hasil interaksi yang terjadi pada ketiga senyawa yang did*ocking*kan dengan enzim COX-2.

No	Ligan	Energi ikatan	Ikatan Hidrogen	Ikatan Lain
1.	Quercetin	-83,385	GLN 192 TYR 355 TYR 385 PHE 518 SER 530	LEU 352, VAL 349 VAL 523
2.	Tamarixetin	-81,919	GLN 192 ILE 517 PHE 518 SER 353 SER 530 TYR 355 TYR 385	LEU 352, TYR 348 VAL 344, VAL 349 VAL 523
3.	Rhamnetin	-79,521	PHE 518 SER 530 TYR 355 TYR 385	ALA 516, ARG 513 HIS 90, LEU 352 VAL 349, VAL 523

Tabel 4.7 Hasil interaksi senyawa uji dengan enzim COX-2

Berdasarkan data hasil *docking* pada tabel 4.7 interaksi senyawa uji dengan enzim COX-1 diperoleh nilai konformasi energi ikatan diantaranya senyawa Quercetin (-83,385) kkal/mol, senyawa Tamarixetin (-81,919) kkal/mol dan senyawa Rhamnetin (-79,521) kkal/mol. Hasil energi ikatan dari ketiga senyawa tersebut merupakan hasil senyawa yang tergolong paling rendah dibandingkan dengan senyawa lain yang mengindikasikan bahwa ketiga senyawa tersebut merupakan senyawa yang dapat berpotensi sebagai kandidat obat apabila berikatan dengan sisi aktif enzim target. berdasarkan hasil dari penambatan tersebut, senyawa yang memiliki energi ikatan paling rendah diperoleh senyawa quercetin yang memiliki energi ikatan sebesar -83,835 kkal/mol. Senyawa quercetin diketahui memiliki aktivitas antiinflamasi terutama pada jalur peradangan NLRP3 pada *gout arthritis*. Selain itu senyawa quercetin ini dapat menurunkan produksi sitokin proinflamasi seperti IL-1β, IL-6, 1L-18 dan TNF-α (Nutmakul, 2022).

Selektivitas dinilai dari besarnya energi ikatan yang terbentuk, jika energi ikatan yang diperlukan untuk berikatan dengan senyawa uji terhadap COX-2 semakin kecil

dibandingkan dengan energi ikatan terhadap COX-1, maka dapat dikatakan bahwa senyawa uji semakin selektif terhadap COX-2. Berikut merupakan hasil penilaian selektivitas antara senyawa uji dan senyawa pembanding dengan enzim COX-1 yang disajikan pada tabel 4.8.

1.8 Tabel hasil penilaian selektivitas antara senyawa uji dan senyawa pembanding dengan enzim COX-1

No	Enzim	Ligan	Energi ikatan	Ikatan Hidrogen	Ikatan Lain
1.	COX-1	Rofecoxib	-60,039	ARG 120	ALA 527, ILE 523
	(1EQG)	(Pembanding)		TYR 355	LEU 352, LEU 531
		-			VAL 116, VAL 349
2.	COX-1	Quercetin	-51,503	ARG 120	ALA 527, ILE 523
	(1EQG)			TYR 355	LEU 352, SER 530
					PHE 518, VAL 116
					VAL 349
3.	COX-1	Ombuin	-47,329	ARG 120	ALA 527, ILE 523
	(1EQG)				LEU 352, LEU 357
					LEU 359, LEU 384
					SER 530, TYR 355
					TYR 385, TRP 387
					PHE 381, VAL 116
					VAL 349
4.	COX-1	Rhamnetin	-49,746	ARG 120	ALA 527, ILE 523
	(1EQG)				LEU 352, LEU 384
					SER 530, TYR 355
					TYR 385, TRP 387
					PHE 381, PHE 518
					VAL 116, VAL 349
5.	COX-1	Tamarixetin	-47,172	ARG 120	ALA 527, GLY 526
	(1EQG)			SER 530	ILE 523, LEU 93
				MET 522	LEU 357, LEU 359
					LEU 531, TYR 355
					VAL 116, VAL 349

Hasil yang diperoleh menunjukkan bahwa senyawa pembanding (rofecoxib) yang di *dockingkan* dengan enzim COX-1 memiliki aktivitas penghambatan COX-1 yang baik dibandingkan dengan senyawa flavonoid daun sembung, karena senyawa pembanding (rofecoxib) memiliki energi ikatan lebih rendah dibandingkan senyawa flavonoid daun sembung, hal ini dapat dikatakan senyawa pembanding rofecoxib memiliki indeks selektivitas yang baik terhadap enzim COX-1. Obat rofecoxib merupakan obat golongan antiinflamasi non steroidal yang selektif menghambat COX-2. Pada hasil selektivitas, obat rofecoxib tersebut di *docking*kan dengan enzim COX-1 yang diketahui menghambat enzim COX-1 dengan sangat baik dimana hal tersebut dapat memicu terjadinya efek samping pada *gastrointestinal* (lambung) yang mekanismenya mencegah pembentukan prostaglandin yang dapat melindungi mukosa lambung, oleh karena itu perlu alternatif dalam penggunaan obat obatan antiinflamasi yaitu digunakannya obat obatan antiinflamasi yang selektif terhadap COX-2 yang memiliki risiko efek samping yang lebih rendah (Pribadi et al, 2022).

Selanjutnya berikut merupakan tabel hasil penilaian selektivitas antara senyawa uji dan senyawa pembanding terhadap enzim COX-2 yang disajikan pada tabel 4.9

 $1.9\,$ Tabel hasil penilaian selektivitas antara senyawa uji dan senyawa pembanding dengan enzim COX-1

No	Enzim	Ligan	Energi ikatan	Ikatan Hidrogen	Ikatan Lain
1.	COX-2	Ibuprofen	-77,039	ARG 120	ALA 527, ILE 523
	(5KIR)	(Pembanding)	, ,	TYR 355	LEU 359, LEU 531
	(-)	(6)			TYR 385, TRP 387
					PHE 518, VAL 116
					VAL 349
2.	COX-2	Quercetin	-83,385	GLN 192	LEU 352, VAL 349
	(5KIR)		,	TYR 355	VAL 523
	(-)			TYR 385	
				PHE 518	
				SER 530	
3.	COX-2	Tamarixetin	-81,919	GLN 192	LEU 352, TYR 348
	(5KIR)		,	ILE 517	VAL 344, VAL 349
				PHE 518	VAL 523
				SER 353	
				SER 530	
				TYR 355	
				TYR 385	
4.	COX-2	Rhamnetin	-79,521	PHE 518	ALA 516, ARG 513
	(5KIR)			SER 530	HIS 90, LEU 352
	, ,			TYR 355	VAL 349, VAL 523
				TYR 385	·
5.	COX-2	Ombuin	-79,059	PHE 518	ALA 516, ARG 513
	(5KIR)			TYR 355	HIS 90, LEU 352,
	` ′			TYR 385	TYR 348, VAL 344,
					VAL 349, VAL 523.

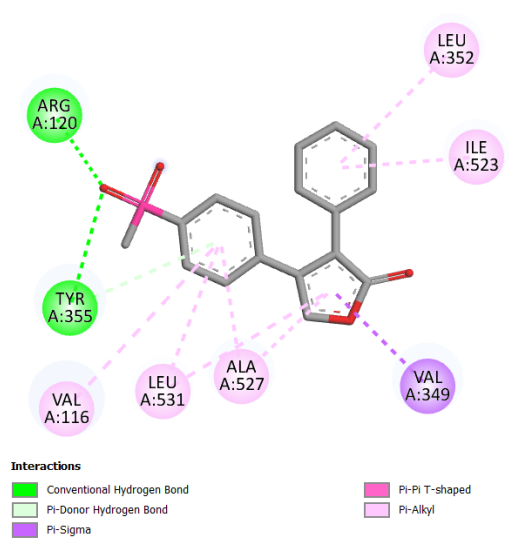
Pada tabel 4.9 menunjukkan bahwa senyawa Quercetin daun sembung memiliki aktivitas penghambatan enzim COX-2 yang baik dibandingkan senyawa pembanding (ibuprofen) karena senyawa Quercetin memiliki energi ikatan lebih rendah dibandingkan senyawa pembanding ibuprofen, hal ini dapat dikatakan senyawa Quercetin memiliki indeks selektivitas yang baik terhadap enzim COX-2. Hal ini didukung dengan penelitian yang sejalan yang dilakukan oleh (Dinata *et al.*, 2014) yang menyebutkan bahwa hasil *docking* dari senyawa antiinflamasi xanthorrhizol dapat berikatan dengan sisi aktif enzim COX-1 dan COX-2, namun enzim COX-2 lebih selektif dengan nilai energi ikatan *docking* yang lebih kecil atau rendah dibanding interaksinya dengan enzim COX-1.

Berdasarkan hasil penilaian selektivitas antara senyawa pembanding dengan senyawa pembanding yang didockingkan terhadap enzim COX-1 maupun COX-2 dapat diketahui bahwa senyawa pembanding (ibuprofen) yang didockingkan dengan enzim COX-2 lebih selektif dibandingkan senyawa pembanding (rofecoxib) yang didockingkan dengan COX-1, karena senyawa pembanding yang ditambatkan memiliki energi ikatan lebih rendah terhadap enzim COX-2 daripada enzim COX-1. Selain itu juga diketahui senyawa quercetin yang didockingkan dengan enzim COX-2 lebih selektif dibandingkan senyawa pembanding ibuprofen. Karena senyawa quercetin daun sembung yang didockingkan dengan enzim COX-2 memiliki energi ikatan yang lebih baik daripada senyawa pembanding ibuprofen. Oleh karena itu senyawa quercetin tersebut selektif terhadap enzim COX-2 dan dapat dijadikan kandidat obat antiinflamasi yang tergolong selektif COX-2.

Berikut merupakan hasil *docking* obat senyawa pembanding rofecoxib yang ditambatkan dengan enzim COX-1 menggunakan *software* PLANTS berbasis *command prompt* yang disajikan pada tabel 4.11

Tabel 4.10 Hasil *Docking* dan interaksi ligan rofecoxib dengan Enzim COX-1

No	Ligan	Energi ikatan	Ikatan Hidrogen	Ikatan Lain
1.	Rofecoxib	-60,039	ARG 120 TYR 355	ALA 527, ILE 523 LEU 352, LEU 531 VAL 116, VAL 349



Gambar 4.5 Interaksi senyawa pembanding (rofecoxib) dengan enzim COX-1

Berdasarkan data hasil *docking* pada tabel 4.10 antara ligan senyawa rofecoxib dengan enzim COX-1, diketahui bahwa senyawa obat rofecoxib dapat berinteraksi dengan sisi aktif dari protein target. Nilai konformasi energi ikatan yang diperoleh yaitu sebesar -60,039 kcal/mol yang dimana lebih kecil dari nilai konformasi energi ikatan pada senyawa quercetin, ombuin dan rhamnetin. Hal ini menunjukkan bahwa senyawa pembanding yaitu obat rofecoxib yang telah digunakan untuk mengobati antiinflamasi *gout arthritis* lebih perpotensi sebagai antiinflamasi dibanding dengan senyawa golongan flavonoid pada tanaman daun sembung, karena nilai konformasi energi ikatan pada senyawa rofecoxib lebih kecil dibandingkan dengan senyawa golongan flavonoid pada daun sembung yaitu quercetin, ombuin dan rhamnetin.

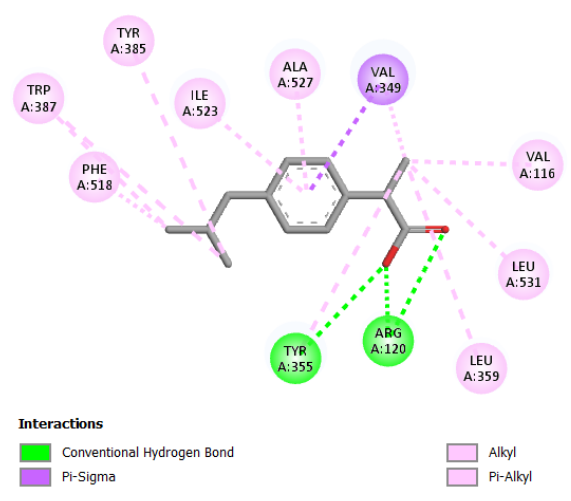
Visualisasi *docking* antara makromolekul *siklooksigenase*-1 (COX-1) dengan ligan rofecoxib menunjukkan berbagai ikatan energi yang terbentuk seperti halnya ikatan hidrogen bond yang terbentuk pada residu asam amino ARG 120 dan TYR 355. Ikatan hidrogen pada residu asam amino ARG 120 yakni pada atom O pada gugus S=O (donor) dengan asam amino pada atom N pada gugus NH₂ (Aseptor). Ikatan hidrogen pada residu asam amino TYR 355 yakni pada atom O pada gugus S=O (donor) dengan asam amino pada atom O pada gugus OH (Aseptor). Hal tersebut menandakan adanya interaksi antara ligan rofecoxib dengan sisi aktif makromolekul COX-1. Selain itu juga terdapat ikatan hidrofobik yaitu pada residu asam amino ALA 527, ILE 523, LEU 352, LEU 531, VAL 116, VAL 349 yang menandakan adanya aktivitas hidrofobik.

Selanjutnya berikut merupakan hasil *docking* obat senyawa pembanding rofecoxib yang ditambatkan dengan enzim COX-2 menggunakan *software* PLANTS berbasis *command prompt* yang disajikan pada tabel 4.11

Tabel 4.11 Hasil Docking dan interaksi ligan pembanding Ibuprofen Enzim COX-2

No	Ligan	Energi ikatan	Ikatan Hidrogen	Ikatan Lain
1.	Ibuprofen	-77,191	ARG 120 TYR 355	ALA 527, ILE 523 LEU 359, LEU 531 TYR 385, TRP 387 PHE 518, VAL 116 VAL 349.

Berdasarkan data hasil *docking* pada tabel 4.11 antara ligan senyawa ibuprofen dengan enzim COX-2, diketahui bahwa senyawa obat ibuprofen dapat berinteraksi dengan sisi aktif dari protein target. Nilai konformasi energi ikatan yang diperoleh pada senyawa ibuprofen diperoleh energi ikatan sebesar -77,191 kcal/mol, yang dimana nilai tersebut lebih besar dari nilai konformasi energi ikatan yang lebih kecil pada senyawa quercetin. Hal ini didukung dengan penelitian yang dilakukan oleh (Hakim *et al.*, 2018) yang melakukan penelitian sama yaitu *docking molecular* dengan senyawa dari ekstrak etanol sirsak terhadap antiinflamasi dan analgesik. Dimana pada penelitian ini menyebutkan bahwa hasil *molecular docking* dari ekstrak etanol *Annona muricata* dapat bekerja sebagai antiinflamasi dan analgesic, khususnya pada senyawa quercetin dengan energi ikatan sebesar -9,8 kkal/mol, lebih baik dibandingkan obat dexametason (pembanding). Hal ini menunjukkan bahwa senyawa quercetin pada daun sembung dapat berpotensi sebagai antiinflamasi *gout arthritis* dibanding dengan senyawa pembanding ibuprofen, karena nilai konformasi energi ikatan pada senyawa quercetin daun sembung lebih kecil dibandingkan dengan senyawa obat ibuprofen.

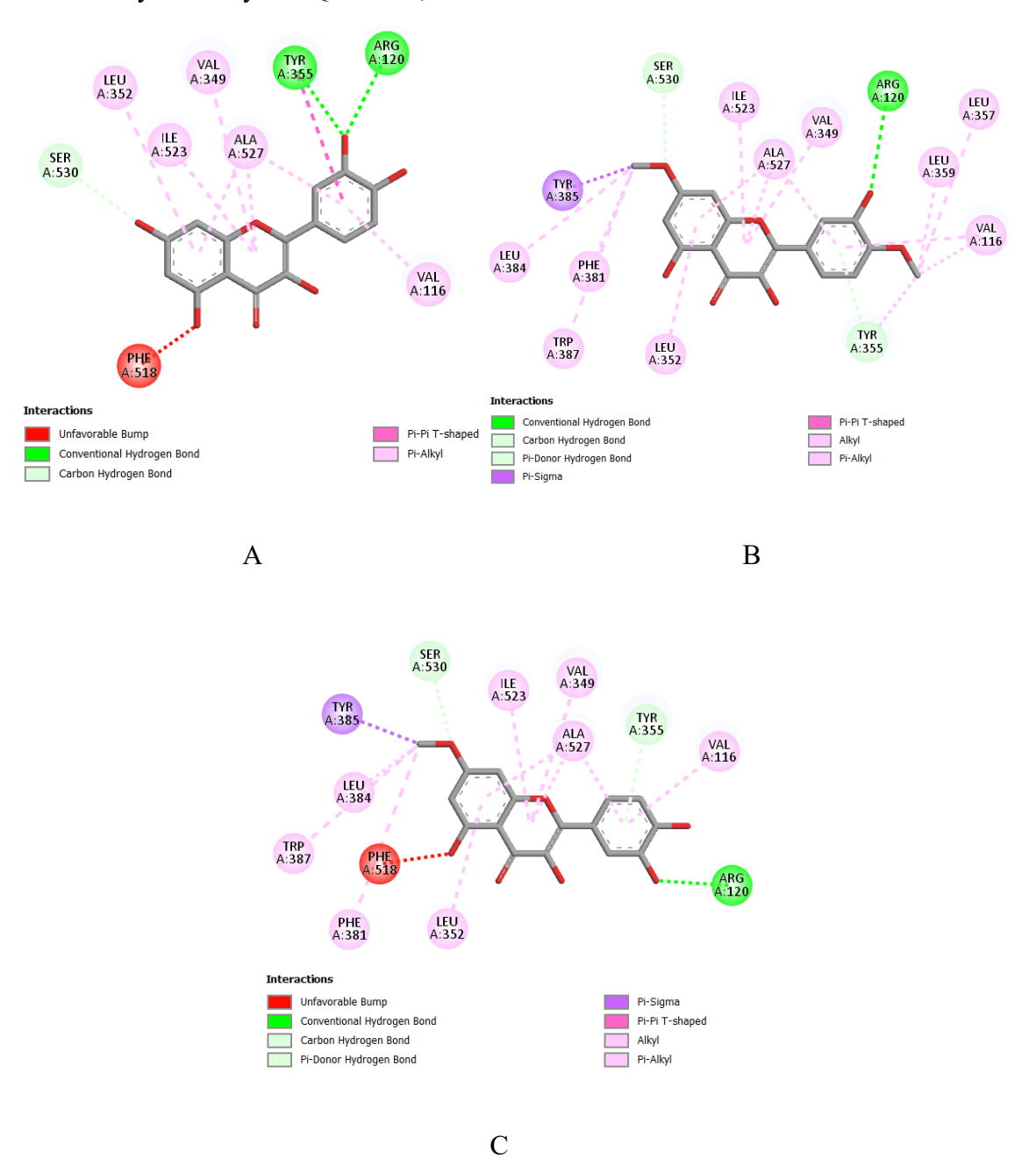


Gambar 4.6 Interaksi senyawa pembanding ibuprofen dengan enzim COX-2

Visualisasi *docking* antara makromolekul *siklooksigenase*-2 (COX-2) dengan ligan ibuprofen menunjukkan berbagai ikatan energi yang terbentuk seperti halnya Ikatan hidrogen yang terbentuk pada asam amino ARG 120 dan TYR 355. Ikatan hidrogen pada residu asam amino ARG 120 yakni pada atom O pada gugus OH (donor) dengan asam amino pada atom N pada gugus NH (Aseptor) dan yakni pada atom O pada gugus OH (donor) dengan asam amino pada atom N pada gugus NH₁ (Aseptor). Ikatan hidrogen pada residu asam amino TYR 355 yakni pada atom O pada gugus OH (donor) dengan asam

amino pada atom O pada gugus OH (Aseptor). Ikatan hidrofobik yang terbentuk pada residu asam amino ALA 527, ILE 523, LEU 359, LEU 531, TRP 387, TYR 385, PHE 518, VAL 116 dan VAL 349 yang menandakan adanya aktivitas hidrofobik.

Visualisasi hasil *docking* dilakukan pada software *biovia discovery studio* untuk melihat interaksi ikatan yang terjadi pada senyawa uji terhadap protein target. Berikut visualisasi hasil *docking* dari ligan uji terhadap enzim COX-1 dengan nilai energi ikatan terendah yaitu Senyawa Quercetin, Ombuin dan Rhamnetin.



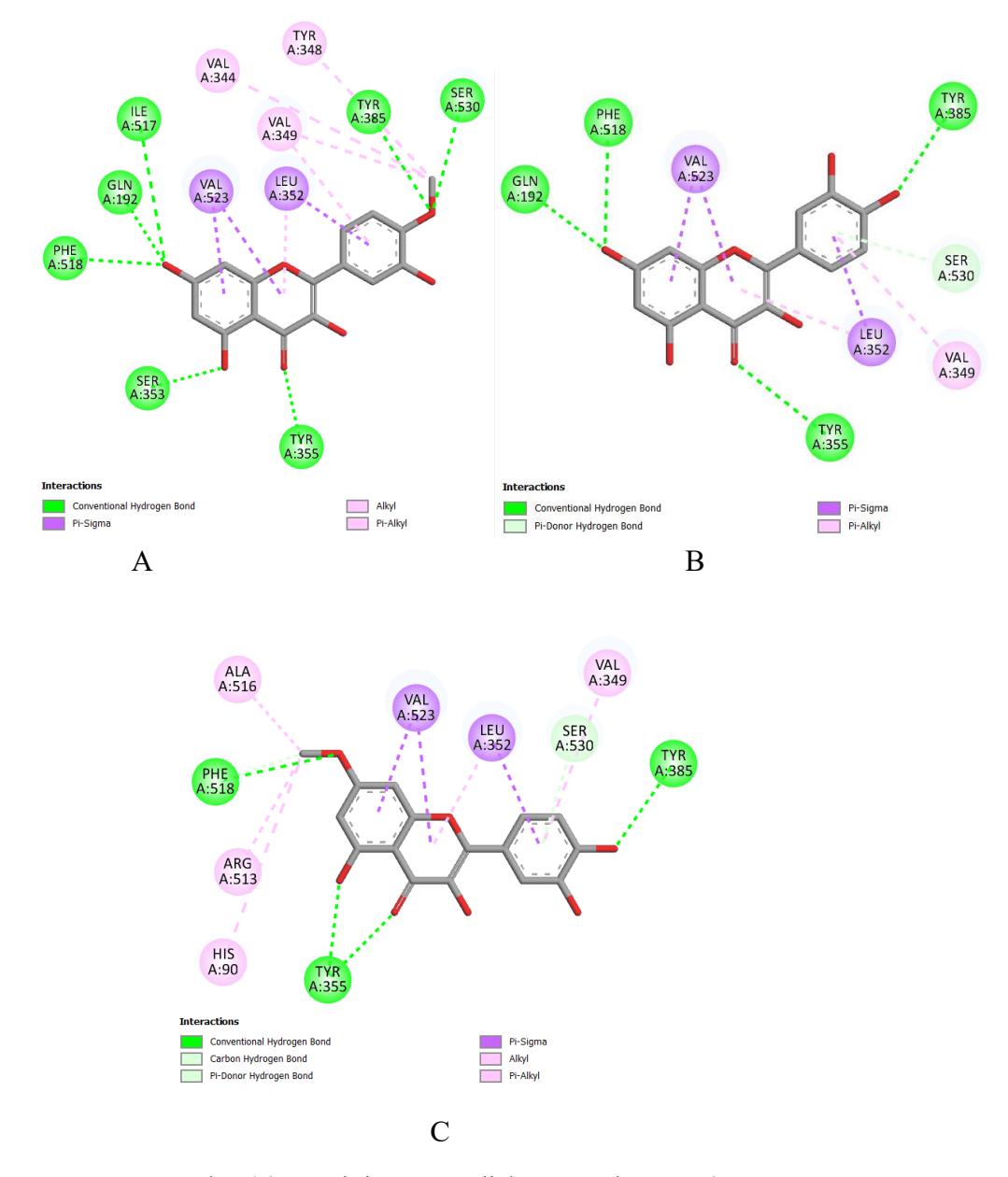
Gambar 4.7 Interaksi senyawa uji dengan enzim COX-1 interaksi senyawa quercetin dengan asam amino (A), interaksi senyawa ombuin dengan asam amino (B), interaksi senyawa rhamnetin (C).

Visualisasi *docking* antara makromolekul *siklooksigenase*-1 (COX-1) dengan ligan quercetin menunjukkan berbagai ikatan energi yang terbentuk seperti halnya ikatan hidrogen bond yang terbentuk pada residu asam amino ARG 120, TYR 355. Ikatan

hidrogen pada residu asam amino ARG 120 yakni pada atom H pada gugus OH (donor) dengan asam amino pada atom N pada gugus NH₂ (Aseptor). Ikatan hidrogen pada residu asam amino TYR 355 yakni pada atom H pada gugus OH (donor) dengan asam amino yakni pada atom O gugus OH (aseptor). Selain itu terdapat ikatan hidrogen carbon pada residu asam amino SER 530. Ikatan hidrogen carbon pada residu asam amino SER 530 yakni terdapat pada atom O pada gugus C=O (donor) dengan asam amino yakni pada atom C gugus C=O (aseptor). Hal tersebut menandakan adanya interaksi antara ligan quercetin dengan sisi aktif makromolekul COX-1. Selain itu juga terdapat ikatan hidrofobik yaitu pada residu asam amino ALA 527, ILE 518, VAL 116, VAL 349 yang menandakan adanya aktivitas hidrofobik.

Visualisasi *docking* antara makromolekul *siklooksigenase*-1 (COX-1) dengan ligan ombuin menunjukkan berbagai ikatan energi yang terbentuk seperti halnya ikatan hidrogen bond yang terbentuk pada residu asam amino ARG 120. Ikatan hidrogen pada residu asam amino ARG 120 yakni pada atom H pada gugus OH (donor) dengan asam amino pada atom N pada gugus NH (Aseptor). Selain itu terdapat ikatan hidrogen carbon pada residu asam amino SER 530, TYR 355. Ikatan hidrogen carbon pada residu asam amino SER 530 yakni terdapat pada atom C pada gugus C (donor) dengan asam amino yakni pada atom O gugus OH (aseptor). Ikatan hidrogen carbon pada residu asam amino TYR 355 yakni terdapat pada atom C pada gugus C (donor) dengan asam amino yakni pada atom O gugus OH (aseptor). Hal tersebut menandakan adanya interaksi antara ligan ombuin dengan sisi aktif makromolekul COX-1. Selain itu juga terdapat ikatan hidrofobik yaitu pada residu asam amino ALA 527, ILE 523, LEU 352, LEU 357, LEU 359, LEU 384, PHE 381, TRP 387, TYR 385, VAL 116, VAL 349 yang menandakan adanya aktivitas hidrofobik.

Visualisasi *docking* antara makromolekul *siklooksigenase*-1 (COX-1) dengan ligan rhamnetin menunjukkan berbagai ikatan energi yang terbentuk seperti halnya ikatan hidrogen bond yang terbentuk pada residu asam amino ARG 120. Ikatan hidrogen pada residu asam amino ARG 120 yakni pada atom H pada gugus OH (donor) dengan asam amino pada atom N pada gugus NH₂ (Aseptor). Selain itu terdapat ikatan hidrogen carbon pada residu asam amino SER 530, TYR 355. Ikatan hidrogen carbon pada residu asam amino SER 530 yakni terdapat pada atom O pada gugus C=O (donor) dengan asam amino yakni pada atom C gugus C=O (aseptor). Ikatan hidrogen carbon pada residu asam amino TYR 355 yakni terdapat pada atom C pada gugus C (donor) dengan asam amino yakni pada atom O gugus OH (aseptor). Hal tersebut menandakan adanya interaksi antara ligan rhamnetin dengan sisi aktif makromolekul COX-1. Selain itu juga terdapat ikatan hidrofobik yaitu pada residu asam amino ALA 527, ILE 523, LEU 352, LEU 384, PHE 381, TRP 387, TYR 385, VAL 116, VAL 349 yang menandakan adanya aktivitas hidrofobik. Berikut visualisasi hasil *docking* dari ligan uji terhadap enzim COX-2 dengan nilai energi ikatan terendah yaitu senyawa Quercetin, Rhamnetin dan Tamarixetin.



Gambar 4.8 Interaksi senyawa uji dengan enzim COX-2 interaksi senyawa quercetin dengan asam amino (A), interaksi senyawa rhamnetin dengan asam amino (B), interaksi senyawa tamarixetin dengan asam amino (C).

Visualisasi *docking* antara makromolekul *siklooksigenase-2* (COX-2) dengan ligan quercetin menunjukkan berbagai ikatan energi yang terbentuk seperti halnya ikatan hidrogen bond yang terbentuk pada residu asam amino GLN 192, PHE 518, TYR 355, TYR 385. Ikatan hidrogen pada residu asam amino GLN 192 yakni pada atom O pada gugus OH (donor) dengan asam amino pada atom O pada gugus C=O (Aseptor). Ikatan hidrogen pada residu asam amino PHE 518 yakni pada atom H pada gugus OH (donor) dengan asam amino pada atom N pada gugus NH₁ (Aseptor). Ikatan hidrogen pada residu asam amino TYR 355 yakni pada atom H pada gugus OH (donor) dengan asam amino pada atom O pada gugus OH (Aseptor) dan yakni pada atom O gugus C=O (donor) dengan asam amino pada atom O gugus OH. Ikatan hidrogen pada residu asam amino TYR 385 yakni pada atom H pada gugus OH (donor) dengan asam amino pada atom O pada gugus OH (Aseptor). Pada residu asam amino tersebut terdapat ikatan hidrogen, dimana ikatan

hidrogen mendukung stabilitas sisi aktif protein (Hariono *et al.*, 2016). Hal tersebut menandakan adanya interaksi antara ligan quercetin dengan sisi aktif makromolekul COX-2. Selain itu juga terdapat ikatan hidrofobik yaitu pada residu asam amino LEU 352, VAL 523 yang menandakan adanya aktivitas hidrofobik. Pada residu asam amino tersebut terdapat interaksi hidrofobik yang menjadi kontributor utama dalam kestabilan protein, dimana ikatan ini merupakan molekul non polar yang tidak larut dalam air dan ikatan yang penting dalam proses penyatuan daerah non polar molekul ligan dengan daerah non polar reseptor target (Hariz, 2019).

Visualisasi docking antara makromolekul siklooksigenase-2 (COX-2) dengan ligan rhamnetin menunjukkan berbagai ikatan energi yang terbentuk seperti halnya ikatan hidrogen bond yang terbentuk pada residu asam amino PHE 518, TYR 355 dan TYR 385. Ikatan hidrogen pada residu asam amino PHE 518 yakni pada atom O pada gugus OH (donor) dengan asam amino pada atom N pada gugus NH (Aseptor). Ikatan hidrogen pada residu asam amino TYR 355 yakni pada atom O pada gugus OH (donor) dengan asam amino pada atom N pada gugus NH₁ (Aseptor) dan yakni pada atom O gugus C=O (donor) dengan asam amino pada atom O gugus OH (Aseptor). Ikatan hidrogen pada residu asam amino TYR 385 yakni pada atom O pada gugus OH (donor) dengan asam amino pada atom O pada gugus OH (Aseptor). Pada residu asam amino tersebut terdapat ikatan yang mendominasi berupa ikatan hidrogen, dimana ikatan hidrogen merupakan ikatan yang mempengaruhi faktor kestabilan sisi aktif makromolekul (Gandu et al., 2021). Hal tersebut menandakan adanya interaksi antara ligan rhamnetin dengan sisi aktif makromolekul COX-2. Selain itu juga terdapat ikatan hidrofobik yaitu pada residu asam amino ALA 516, ARG 513, HIS 90, LEU 352, VAL 349, VAL 523 yang menandakan adanya aktivitas hidrofobik. Pada residu asam amino tersebut terdapat ikatan hidrofobik yang berperan penting dalam menentukan stabilitas senyawa terhadap makromolekul (Ekawasti et al., 2021).

Visualisasi docking antara makromolekul siklooksigenase-2 (COX-2) dengan ligan tamarixetin menunjukkan berbagai ikatan energi yang terbentuk seperti halnya ikatan hidrogen bond yang terbentuk pada residu asam amino GLN 192, ILE 517, PHE 518, SER 353, SER 530, TYR 355, TYR 385. Ikatan hidrogen pada residu asam amino yakni GLN 192 pada atom O pada gugus OH (donor) dengan asam amino pada atom O pada gugus C=O (Aseptor). Ikatan hidrogen pada residu asam amino yakni ILE 517 pada atom O pada gugus OH (donor) dengan asam amino pada atom N pada gugus NH (Aseptor). Ikatan hidrogen pada residu asam amino yakni PHE 518 pada atom O pada gugus OH (donor) dengan asam amino pada atom N pada gugus NH (Aseptor). Ikatan hidrogen pada residu asam amino yakni SER 353 pada atom O pada gugus OH (donor) dengan asam amino pada atom O pada gugus C=O (Aseptor). Ikatan hidrogen pada residu asam amino yakni SER 530 pada atom O pada gugus OH (donor) dengan asam amino pada atom O pada gugus OH (Aseptor). Ikatan hidrogen pada residu asam amino yakni TYR 355 pada atom O pada gugus C=O (donor) dengan asam amino pada atom O pada gugus OH (Aseptor). Ikatan hidrogen pada residu asam amino yakni TYR 385 pada atom O pada gugus OH (donor) dengan asam amino pada atom O pada gugus OH (Aseptor). Pada residu asam amino tersebut terdapat ikatan hidrogen yang paling mendominasi, dimana berdasarkan laporan Sheu pada penelitian (Alam et al., 2020) ikatan hidrogen dapat menstabilkan susunan residu asam amino pada struktur tiga dimensi protein dan sebagai penentu dalam stabilitas sisi aktif makromolekul. Hal tersebut menandakan adanya interaksi antara ligan tamarixetin dengan sisi aktif makromolekul COX-2. Selain itu juga terdapat ikatan hidrofobik yaitu pada residu asam amino LEU 352, TYR 348, VAL 344, VAL 349 dan VAL 523 yang menandakan adanya aktivitas hidrofobik. Pada residu asam amino tersebut terdapat ikatan hidrofobik, dimana interaksi hidrofobik bersifat menghindari lingkungan cair dan cenderung memiliki residu asam amino bersifat non polar sehingga interaksi hidrofobik berperan penting dalam menentukan stabilitas ligan terhadap sisi aktif makromolekul (Arwansyah, 2014).

Berdasarkan hasil visualisasi *docking* antara enzim COX-1 maupun COX-2 dengan ketiga senyawanya masing masing menunjukkan berbagai ikatan yang terbentuk diantaranya ikatan hidrogen dan ikatan hidrofobik. Ikatan hidrogen merupakan ikatan molekul antara atom H dengan atom elektronegatif seperti N, O dan F. Peran ikatan hidrogen sangat penting dalam struktur protein karena kestabilan struktur suatu protein dipengaruhi oleh ikatan hidrogen. Sedangkan residu yang terlibat dalam interaksi hidrofobik merupakan residu asam amino nonpolar. Efek hidrofobik biasanya didefinisikan sebagai pengurangan salah satu interaksi yang relatif tidak menguntungkan yang terjadi antara air dan atom nonpolar (Suryani *et al.*, 2018) Selain itu, penting untuk memperhatikan ikatan hidrogen antara ligan dan reseptor. Visualisasi hasil senyawa menunjukkan adanya interaksi antara senyawa dengan sisi aktif dari enzim COX-1 maupun COX-2, yang ditandai dengan pembentukan ikatan hidrogen. Ikatan tersebut memiliki energi yang signifikan karena atom hidrogen (H) dari kelompok donor terikat pada atom yang sangat elektronegatif.

Berdasarkan hasil visualisasi penambatan ketiga senyawa flavonoid dari daun sembung (*Blumea balsamifera* (L.)) menunjukkan bahwa senyawa-senyawa tersebut berfungsi sebagai inhibitor yang mampu menghambat atau menghentikan laju reaksi kimia enzimatik yang terjadi pada area peradangan akibat pembentukan prostaglandin. Mekanisme inhibitor flavonoid terhadap enzim cyclooxygenase-2 (COX-2) akan menghasilkan efek terapi yang mirip dengan penggunaan antiinflamasi nonsteroid.

Kepustakaan

- [1] E. N. Qomaliah, "Ethnopharmacology and Bioactivity Potential of Soursop (Annona Muricata) Leaves and Fruits," *BIOCITY J. Pharm. Biosci. Clin. Community*, vol. 1, no. 1, pp. 36–55, 2022.
- [2] P. Salempa, "UJI BIOAKTIVITAS SENYAWA METABOLIT SEKUNDER EKSTRAK KLOROFORM KULIT BATANG SIRSAK (Annona muricata Linn.)," *J. Bionature*, vol. 17, no. 1, pp. 37–40, 2016.
- [3] F. Afrianto, "PENGENDALIAN HAMA KUTU PUTIH (Bemisa tabaci) PADA BUAH SIRSAK DENGAN MENGGUNAKAN PESTISIDA NABATI EKTRAK SERAI (Cymbopogon nardus L.)," *J. Ilm.*, vol. 5, no. 1, pp. 7–26, 2018, doi: https://doi.org/10.33084/daun.v5i1.321.
- [4] E. Soekaryo, S. Setyahadi, and P. Simanjuntak, "Isolasi dan Identifikasi Senyawa Aktif Fraksi Etanol Daun Sirsak (Annona muricata Linn.) sebagai Anti Inflamasi Penghambat Enzim Siklooksigenase-2 (COX-2) Sebagai In Vitro," *J. Para Pemikir*, vol. 6, no. 2, pp. 139–144, 2017.
- [5] N. M. Aisyiyah, K. A. A. K. Siregar, and P. M. Kustiawan, "REVIEW: POTENTIAL OF RED BETEL LEAVES (Piper crocatum) AS ANTI-INFLAMMATORY IN Rheumatoid Arthritis," *J. Farm. Sains dan Prakt.*, vol. 7, no. 2, pp. 197–206, 2021, doi: 10.31603/pharmacy.v7i2.5283.
- [6] S. Tri Raharjo, D. B. Pambudi, and E. Mugiyanto, "Pengaruh Penambahan Ekstrak Daun Sirsak (Annona muricata L.)Terhadap Profil Farmakokinetika Piroksikam 1)Setyo," *Huang* 2009, pp. 672–678, 2018.
- [7] D. S. Purwanto, H. Susanti, and N. Sugihartini, "Docking Molekuler Potensi Anti Inflamasi Quersetin Daun Kelor (Moringa oleifera L.) dengan Autodock-Vina," *J. Ilm. Mns. dan Kesehat.*, vol. 4, no. 2, pp. 309–313, 2021.
- [8] T. Sentat, "Uji Aktivitas Anti Inflamasi Ekstrak Etanol Daun Pandan Wangi (Pandanus amaryllifolius Roxb.) Pada Mencit Putih Jantan (Mus Musculus)," *Semin. Nas. 2016 Akad. Farm. Samarinda*, pp. 1–11, 2016.
- [9] G. N. H. Candra and I. M. A. P. Wijaya, "Molecular Docking Kaempferol sebagai Antiinflamasi pada Aterosklerosis secara In Silico," *J. Ilm. Medicam.*, vol. 7, no. 1, pp. 13–18, 2021, doi: 10.36733/medicamento.v7i1.1497.
- [10] C. H. Lee *et al.*, "Integrated ultrasound-mechanical stirrer technique for extraction of total alkaloid content from Annona muricata," *Process Biochem.*, vol. 109, no. July, pp. 104–116, 2021, doi: 10.1016/j.procbio.2021.07.006.
- [11] A. B. Justino, N. C. Miranda, R. R. Franco, M. M. Martins, N. M. da Silva, and F. S. Espindola, "Annona muricata Linn. leaf as a source of antioxidant compounds with in vitro antidiabetic and inhibitory potential against α-amylase, α-glucosidase, lipase, non-enzymatic glycation and lipid peroxidation," *Biomed. Pharmacother.*, vol. 100, no. January, pp. 83–92, 2018, doi: 10.1016/j.biopha.2018.01.172.
- [12] A. Meily, A. Purwanto, J. Gubernur Sarkawi, H. Bakti, and K. Selatan, "STUDI PENAMBATAN MOLEKUL SENYAWA FLAVONOID DAUN TABAT BARITO (Ficus deltoidea Jack) DALAM MENGHAMBAT ENZIM TIROSINASE MOLECULAR DOCKING STUDY OF FLAVONOID COMPOUNDS IN TABAT BARITO LEAVES (Ficus deltoidea Jack) FOR INHIBITING TYROSINASE ENZYME," *Med. Sains*, vol. 6, no. 1, pp. 25–34, 2021.
- [13] I. O. Pertiwi H, "Virtual Screening Senyawa Obat Penurun Gula Darah dari Database Tanaman Herbal Terhadap Pyruvate Dehidrogenase Kinase Isoform-1 Berbasis Pharmacophore Modelling dan Molecular Docking," 2017.
- [14] herawati, "Analisis Pemberian Serbuk Jahe Merah, Kunyit, dan Temulawak dengan Metode In Silico dan In Vivo pada Ayam Broiler," *J. Sain Vet.*, vol. 41, p. 14, 2023,

- doi: 10.22146/jsv.76111.
- [15] F. Z. Muttaqin, "Molecular Docking and Molecular Dynamic Studies of Stilbene Derivative Compounds As Sirtuin-3 (Sirt3) Histone Deacetylase Inhibitor on Melanoma Skin Cancer and Their Toxicities Prediction," *J. Pharmacopolium*, vol. 2, no. 2, pp. 112–121, 2019, doi: 10.36465/jop.v2i2.489.
- [16] M. Shofi, "STUDI IN SILICO SENYAWA KUARSETIN DAUN KENCANA UNGU (Ruellia tuberosa L.) SEBAGAI AGEN ANTIKANKER PAYUDARA," *J. Sint. Penelit. Sains, Terap. dan Anal.*, vol. 2, no. 1, pp. 1–9, 2022, doi: 10.56399/jst.v2i1.13.
- [17] F. Amelia, "Studi Interaksi Ligan Peptidoid dan Peptida Dengan Enzim Protease NS3/NS2B Virus Dengue," *J. Sainstek*, vol. 6, no. 1, pp. 24–29, 2014.
- [18] M. N. Mohamad Rosdi, S. Mohd Arif, M. H. Abu Bakar, S. A. Razali, R. Mohamed Zulkifli, and H. Ya'akob, "Molecular docking studies of bioactive compounds from Annona muricata Linn as potential inhibitors for Bcl-2, Bcl-w and Mcl-1 antiapoptotic proteins," *Apoptosis 2017 231*, vol. 23, no. 1, pp. 27–40, Dec. 2017, doi: 10.1007/S10495-017-1434-7.
- [19] D. I. Dinata, H. Suryatno, I. Musfiroh, and S. E. Suherman, "Simulasi Docking Molekuler Senyawa Xanthorrhizol sebagai Antiinflamasi terhadap Enzim COX-1 dan COX-2 Molecular Docking Simulation of Xanthorrhizol Compounds Derived from Temulawak as Antiinflammatory on Enzymes COX-1 and COX-2," *Ijpst*, vol. 1, no. 1, pp. 7–13, 2014.
- [20] A. Arwansyah, L. Ambarsari, and T. I. Sumaryada, "Simulasi *Docking* Senyawa Kurkumin dan Analognya Sebagai Inhibitor Reseptor Androgen pada Kanker Prostat," *Curr. Biochem.*, vol. 1, no. 1, pp. 11–19, 2014, doi: 10.29244/cb.1.1.11-19.
- [21] S. E. Priani and T. M. Fakih, "Identifikasi Aktivitas Inhibitor Enzim Tirosinase Senyawa Turunan Flavonoid pada Kulit Buah Cokelat (Theobroma cacao L) secara In Silico," *ALCHEMY J. Penelit. Kim.*, vol. 17, no. 2, p. 168, 2021, doi: 10.20961/alchemy.17.2.45317.168-176.
- [22] Y. Romadhana *et al.*, "POTENSI SENYAWA AKTIF DAUN NIMBA (Azadirachta indica) SEBAGAI ANTICOVID-19 SECARA IN SILICO POTENTIAL OF ACTIVE COMPOUNDS OF NIMBA LEAVES (Azadirachta indica) AS AN ANTICOVID-19 IN SILICO".
- [23] C. O. X. Dan, "STUDI IN SILICO: POTENSI SENYAWA AKTIF DAUN SERAI (Cymbopogon citratus) SEBAGAI OBAT HERBAL ANTIINFLAMASI DENGAN MEKANISME AKTIVASI COX–1 DAN PENGHAMBATAN COX–2," *J. Kedokt. komunitas*, vol. 11, no. 1, p. 10, 2023.
- [24] F. Naufa, R. Mutiah, and Y. Y. A. Indrawijaya, "Studi in silico potensi senyawa katekin teh hijau (Camellia sinensis) sebagai antivirus SARS CoV-2 terhadap spike glycoprotein (6LZG) dan main protease (5R7Y)," *J.Food Pharm.Sci*, vol. 10, no. 1, pp. 584–596, 2022.
- [25] A. S. Arfi, R. D. Lestari, and D. S. Damayanti, "Studi In Silico Senyawa Aktif Rimpang Kunyit (Curcuma Domestica) terhadap Penghambatan Acetylcholinesterase, Microtubulin (Beta Tubulin), dan Aktivasi Calcium Channel sebagai Terapi Antelmintik," *J. Kedokt. Komunitas*, vol. 8, no. 2, pp. 36–47, 2020.
- [26] Arwansyah and Hasrianti, "Simulasi Molecular Docking Senyawa Kurkumin dan Analognya Sebagai Selective Androgen Receptor Modulators (SARMs) Pada Kanker Prostat," *J. Din.*, vol. 5, no. 2, pp. 60–75, 2014.
- [27] E. K. A. Abdelall, P. F. Lamie, A. K. M. Ahmed, and E. S. EL-Nahass, "COX-1/COX-2 inhibition assays and histopathological study of the new designed anti-inflammatory agent with a pyrazolopyrimidine core," *Bioorg. Chem.*, vol. 86, pp. 235–253, 2019, doi: 10.1016/j.bioorg.2019.01.031.